

Séries temporelles : TD et Examens

2024-11-30

Contents

1	Avants propos, notions cours et codes associés :	3
1.1	Le type ts ‘time series’ :	3
1.1.1	Exemples et création :	3
1.1.2	Décomposition d’une série temporelle :	4
1.2	Simulation de processus :	5
1.2.1	Simulation ARMA(2,1) :	5
1.3	Fonctions d’autocorrélation et d’autocovariance :	6
1.4	Etude d’un bruit blanc :	8
1.4.1	Fonctions d’autocorrélation et d’autocovariance :	8
1.4.2	Tests statistiques sur le bruit blanc :	9
1.5	Simulation d’un modèle AR(p) :	10
1.5.1	Simulation d’un processus AR(3) :	10
1.5.2	Calcul de la fonction d’autocorrélation théorique :	11
1.5.3	Ajustement d’un modèle AR(p) avec ou sans connaissance de p :	12
1.5.4	Simulation d’un processus AR(3) non-centré :	12
1.5.5	Ajustement d’un modèle AR(p) avec la fonction arima :	13
1.5.6	Intervalle de prédiction du modèle AR(3) :	13
1.5.7	Prédiction d’un modèle AR(3) :	13
1.6	Modélisation ARMA(p,q) :	14
1.6.1	Ajustement d’un modèle ARMA(p,q) quand p et q sont connus :	14
1.6.2	Ajustement d’un modèle ARMA(p,q) quand p et q sont inconnus :	15
1.6.3	La prédiction des modélisations ARMA(p,q) :	17
1.6.4	Vérification de la stationnarité d’un processus ARMA(p,q) :	17
1.6.5	Fonction auto-corrélation d’un processus ARMA(p,q) :	19
1.7	Modélisation de composantes non stationnaires :	20
1.7.1	Simulation ARMA non stationnaires :	20
1.7.2	Stationnarisation possible, la différence première :	21
1.8	Illustration des séries temporelles avec de la saisonnalité :	23
1.8.1	Série temporelle avec saisonnalité et sans tendance :	23
1.8.2	Série temporelle avec saisonnalité et tendance :	25
1.8.3	Série sans saisonnalité et sans tendance :	26
1.9	Modèles paramétriques saisonniers :	27
1.9.1	Stabilisation du cycle saisonnier par application du log :	28
1.9.2	Estimation des paramètres de la saisonnalité :	29
1.9.3	Vérification du choix d’estimation de la composante saisonnière :	30
1.10	Lissage non paramétrique :	32
1.10.1	Décomposition de la série temporelle, méthode des moyennes mobiles :	33
1.10.2	Décomposition de la série temporelle, méthode STL :	35
2	Travaux dirigés	37
2.1	Exercice 1: Simulation de différents processus :	37
2.1.1	Simulation MA(1) :	37
2.1.2	Simulation d’une marche aléatoire :	39

2.1.3	Simulation du troisième processus :	42
2.1.4	Simulation du processus D :	45
2.1.5	Simulation du processus E :	47
2.2	Exercice 2 :	49
2.2.1	Fonction autocorrélation théorique :	49
2.2.2	Simulation du processus en utilisant la fonction intégrée :	50
2.3	Exercice 3 :	51
2.3.1	Fonction de simulation d'un processus Ar(1):	51
2.3.2	Simulation du processus :	51
2.4	Exercice 5 :	53
2.4.1	Simulation du bruit blanc :	53
2.4.2	Vérification que $\sqrt{T} \times \hat{\rho}(h) \sim \mathcal{N}(0, 1)$:	53
2.4.3	L'intervalle de confiance à 95% des coefficients d'auto-corrélation :	55
2.4.4	Vérification sur une simulation MA(1) :	55
2.4.5	Vérifier que $\hat{\rho}(1)$ n'est plus dans l'intervalle pour un MA(1) :	56
2.4.6	Test de normalité des rendements dans la modélisation de Black-Scholes :	56
2.5	Exercice 6 :	61
2.5.1	Créer une fonction d'estimation du maximum de vraisemblance associé à la série temporelle :	62
2.5.2	Etude sur les estimateurs par simulation :	62
2.5.3	Création d'une fonction de prédiction pour le modèle AR(1) :	65
2.5.4	Simulation et prédiction : (A reprendre simplification possible dans le code)	65
2.6	Exercice 7 :	66
2.6.1	Trouver les racines d'un polynôme caractéristique :	66
2.6.2	Calcul de l'ACF avec Yule-Walker à l'aide du système d'équations :	66
2.6.3	Simulation et comparaison sur la fonction d'autocorrélation :	66
2.6.4	Création d'une fonction d'estimation Yule-Walker pour un modèle AR(2) :	67

3 Annales :

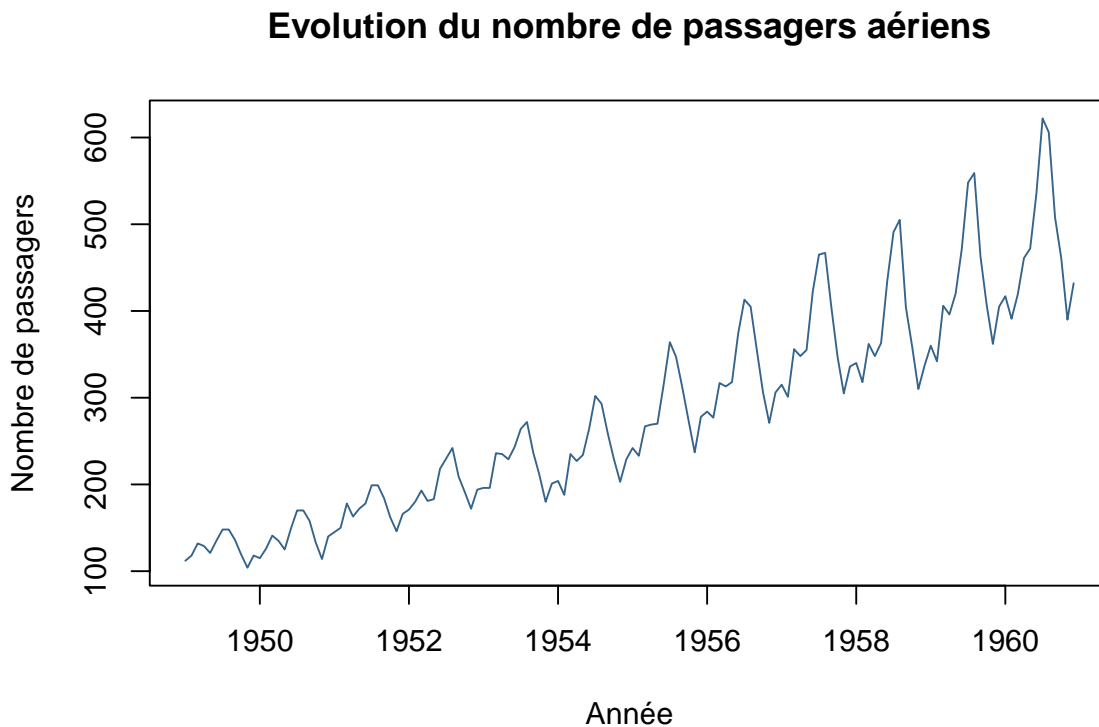
67

1 Avants propos, notions cours et codes associés :

1.1 Le type ts 'time series' :

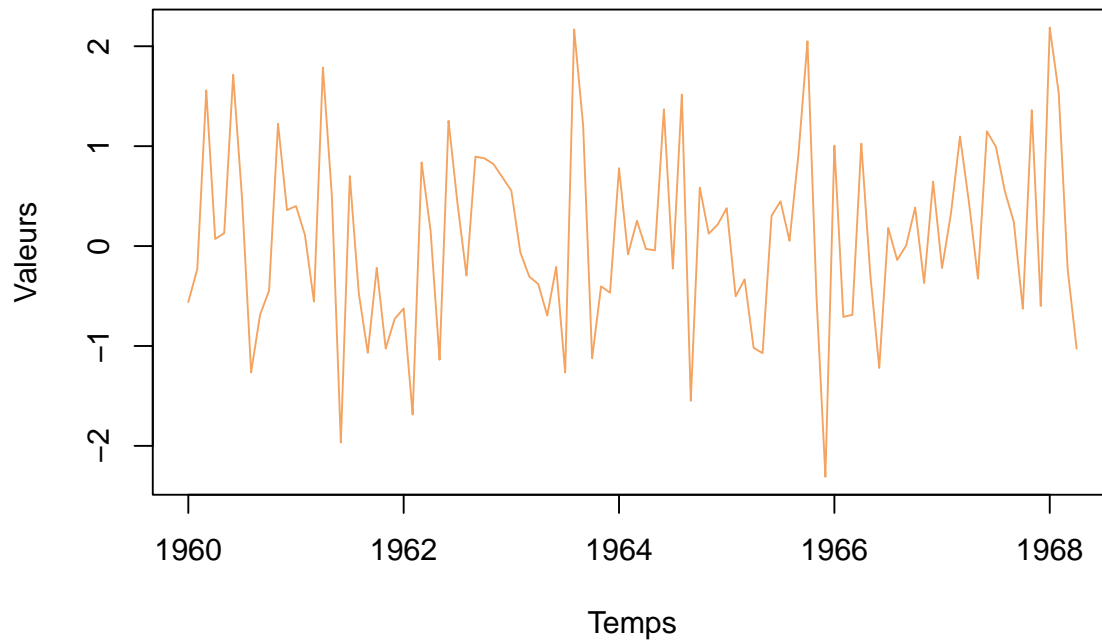
1.1.1 Exemples et création :

```
# Exemple de série temporelle :
plot(
  AirPassengers,
  main = "Evolution du nombre de passagers aériens",
  ylab = "Nombre de passagers",
  xlab = "Année",
  type = "l",
  col = palette_couleur[1]
)
```



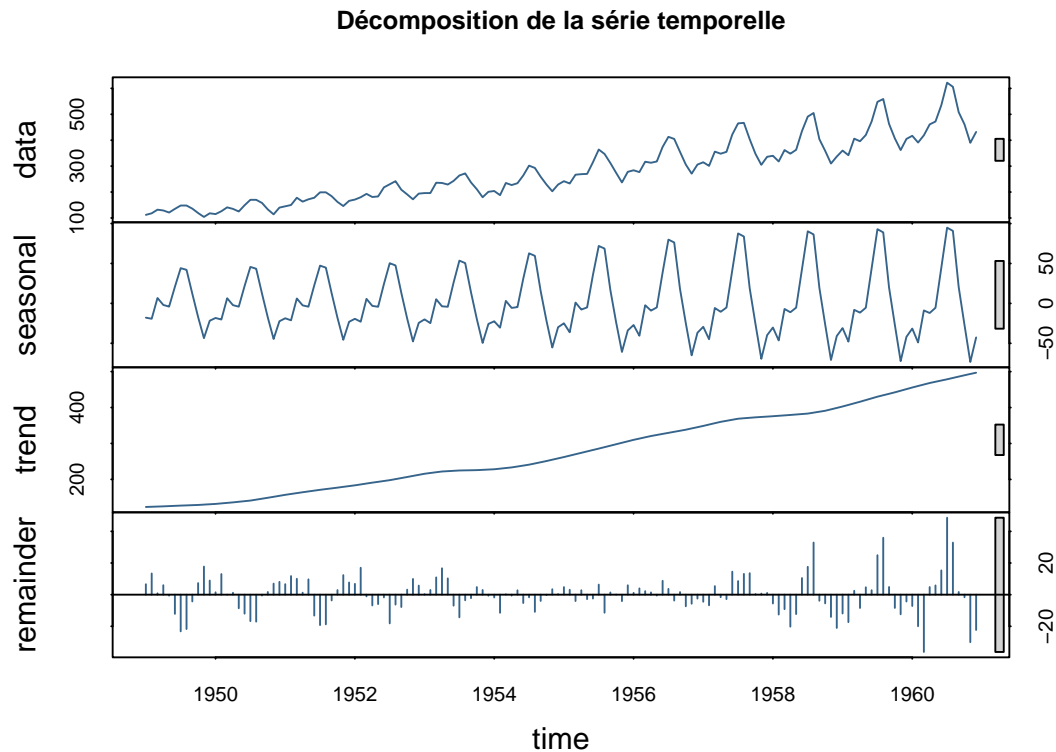
```
# Création d'un objet time série aléatoire :
serie_temp = ts(rnorm(100), start = c(1960, 1), frequency = 12)
plot(
  serie_temp,
  main = "Série temporelle aléatoire",
  ylab = "Valeurs",
  xlab = "Temps",
  type = "l",
  col = palette_couleur[2]
)
```

Série temporelle aléatoire



1.1.2 Décomposition d'une série temporelle :

```
plot(  
  stl(AirPassengers, s.window = 12),  
  main = "Décomposition de la série temporelle",  
  col = palette_couleur[1],  
  lwd = 1  
)
```



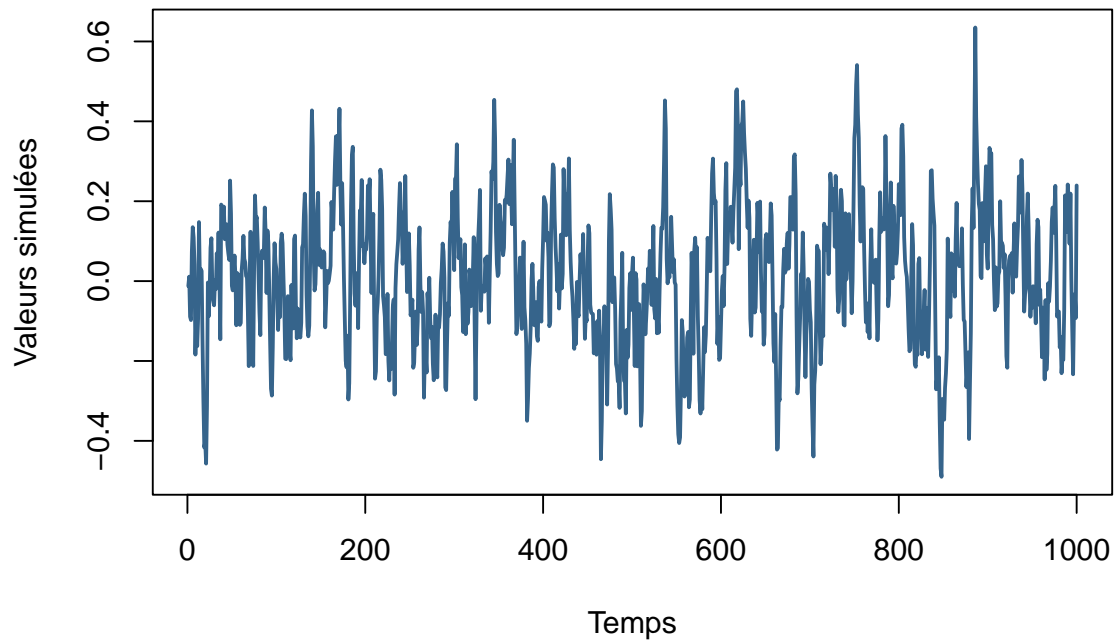
```
# s.window = 12 : période de saisonnalité (nb de mois)
```

1.2 Simulation de processus :

1.2.1 Simulation ARMA(2,1) :

```
alpha = c(.5, .2) #paramètres AR
beta = .5 #paramètres MA
sig = .1 #écart-type du bruit
Time = 1000 #longueur de la série temporelle
x = arima.sim(model = list(ar = alpha, ma = beta),
               sd = sig,
               n = Time) #simulation modèle ARMA
plot(x, type = "l", col = palette_couleur[1], lwd = 2,
     main = "Simulation d'un processus ARMA(2,1)",
     ylab = "Valeurs simulées", xlab = "Temps")
```

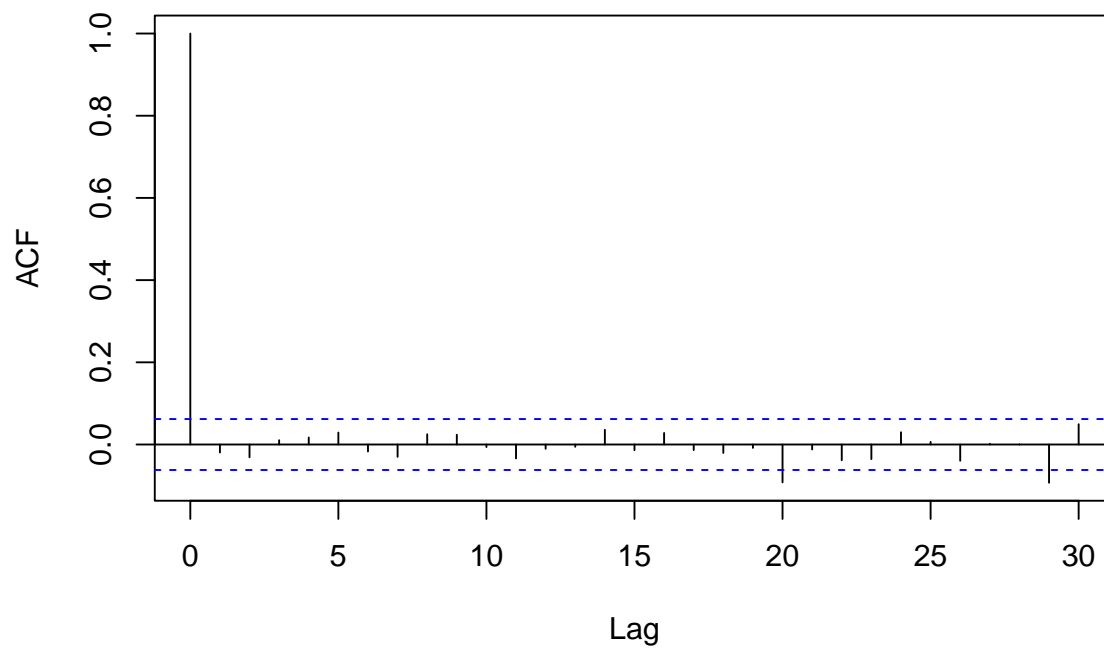
Simulation d'un processus ARMA(2,1)



1.3 Fonctions d'autocorrélation et d'autocovariance :

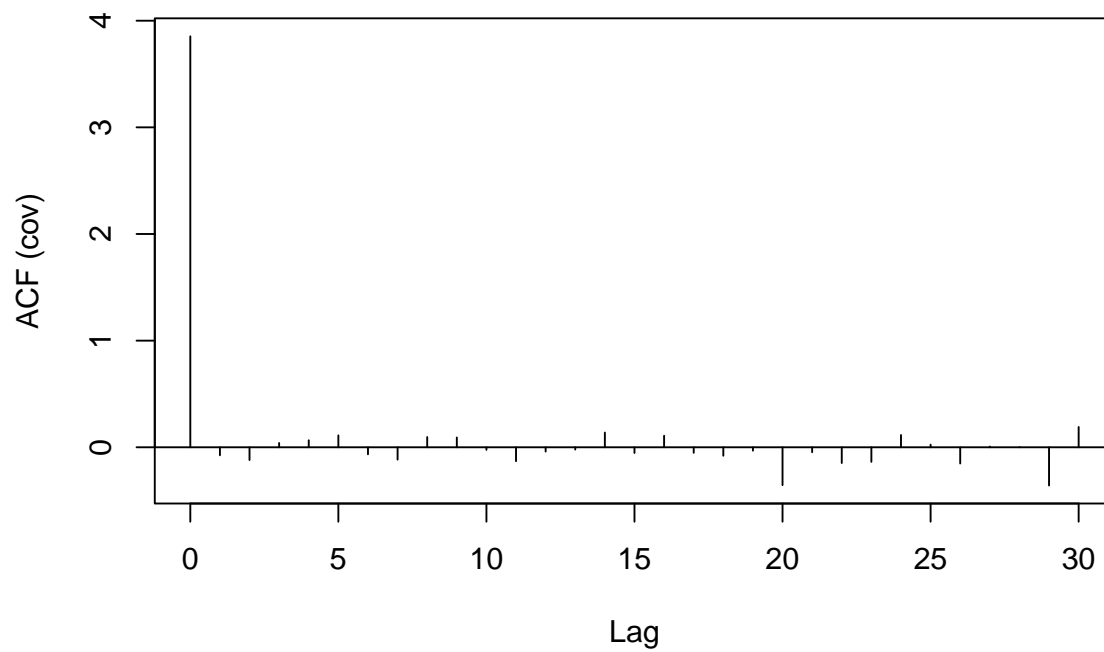
```
Time = 1000
x = 2 * rnorm(Time) #simulation d'un bruit blanc gaussien
acf(x, main = "Fonction autocorrélation")
```

Fonction autocorrélation



```
acf(x, type = 'covariance', main = "Fonction autocovariance")
```

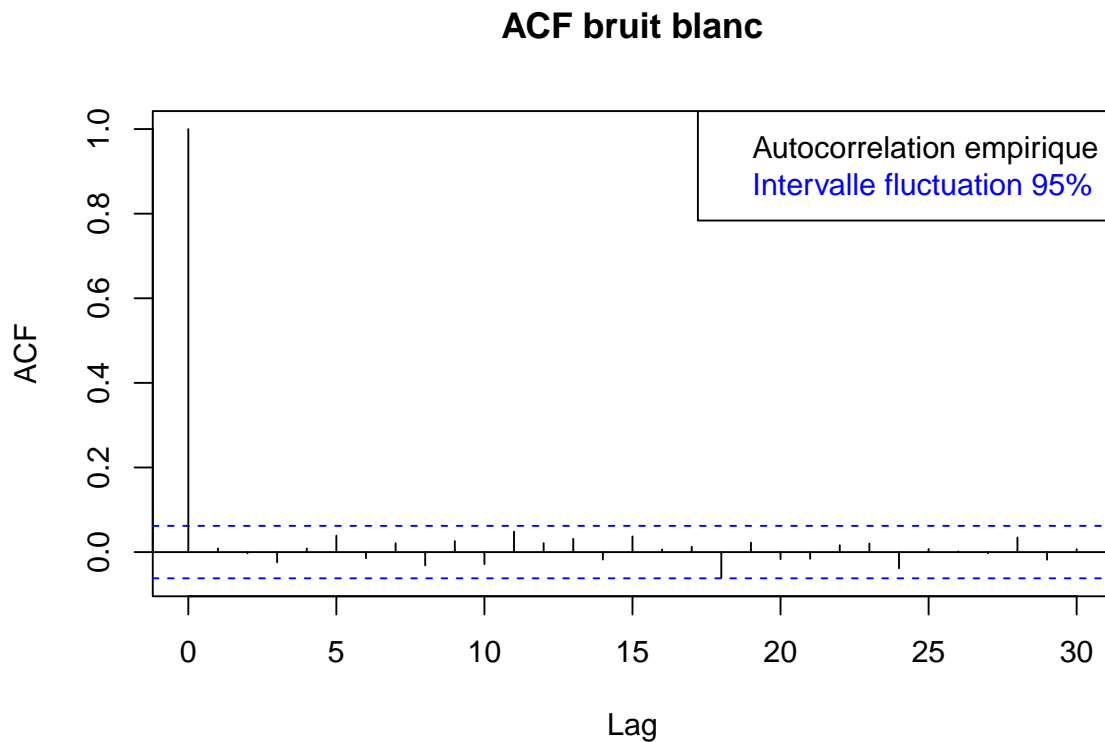
Fonction autocovariance



1.4 Etude d'un bruit blanc :

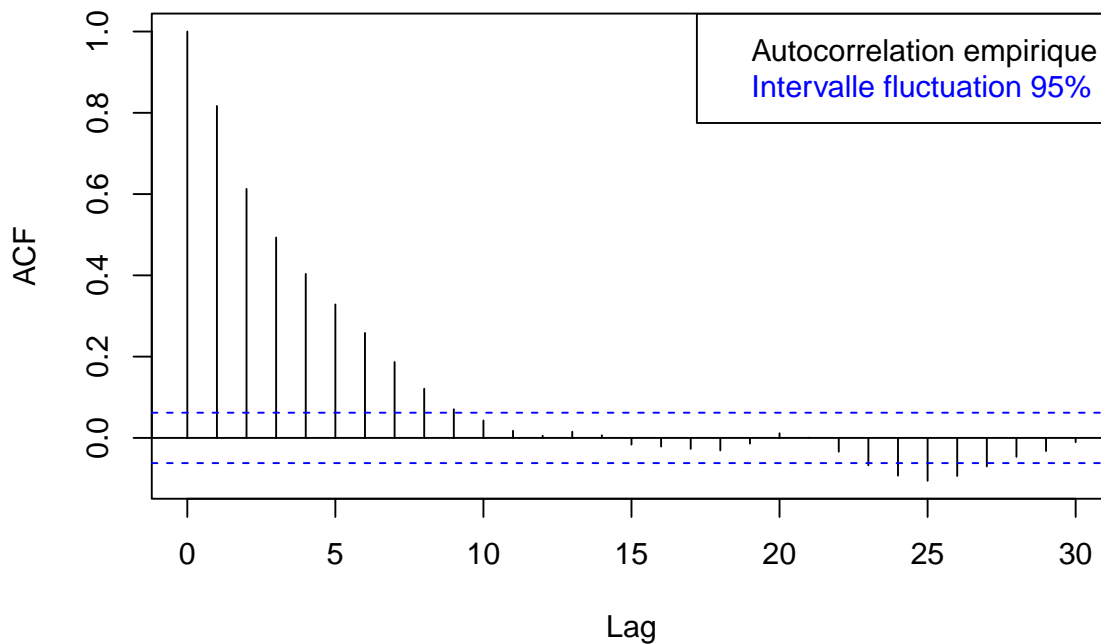
1.4.1 Fonctions d'autocorrélation et d'autocovariance :

```
# Simulation bruit blanc gaussien :  
Time = 1000  
bbg = rnorm(Time)  
  
acf(bbg, main = 'ACF bruit blanc')  
legend(  
  'topright',  
  c('Autocorrelation empirique', 'Intervalle fluctuation 95%'),  
  text.col = c('black', 'blue'))
```



```
x = arima.sim(model = list(ar = c(.5, .2), ma = .5),  
              sd = .1,  
              n = Time)  
acf(x, main = 'ACF ARMA')  
legend(  
  'topright',  
  c('Autocorrelation empirique', 'Intervalle fluctuation 95%'),  
  text.col = c('black', 'blue'))
```


ACF ARMA



1.4.2 Tests statistiques sur le bruit blanc :

Le test de Box-Pierce permet de tester l'hypothèse nulle d'indépendance des observations d'une série temporelle.

Le test de Ljung-Box est une généralisation du test de Box-Pierce qui permet de tester l'indépendance des observations d'une série temporelle sur plusieurs retards.

$$\begin{cases} H_0 : \rho(1) = 0, X \text{ est un bruit blanc} \\ H_1 : \rho(1) \neq 0, X \text{ n'est pas un bruit blanc} \end{cases}$$

```
Time = 1000
x = rnorm(Time) #simulation d'un bruit blanc gaussien
ar21 = arima.sim(model = list(ar = c(.5, .2), ma = .5),
                 sd = .1, n = Time)

p1 = Box.test(x) #(test uniquement sur rho(1))
p2 = Box.test(x, lag = 10) #(test sur rho(1),...,rho(10))
p3 = Box.test(x, lag = 10, type = 'Ljung-Box') #(test de Ljung-Box)
p4 = Box.test(ar21) #(test uniquement sur rho(1))

p_value = round(c(p1$p.value, p2$p.value, p3$p.value, p4$p.value),4)

data.frame(
  Test = c(
    "BB Box rho(1)",
    "BB Box rho(1:10)",
```

```

"BB Lunj-Box rho(1:10)",
"Arma21 rho(1)"),
p_value = p_value,
Bruit_Blanc = p_value > .05
)

```

	Test	p_value	Bruit_Blanc
1	BB Box rho(1)	0.2375	TRUE
2	BB Box rho(1:10)	0.3597	TRUE
3	BB Lunj-Box rho(1:10)	0.3544	TRUE
4	Arma21 rho(1)	0.0000	FALSE

1.5 Simulation d'un modèle AR(p) :

$$X_t = \alpha_1 X_{t-1} + \alpha_2 X_{t-2} + \alpha_3 X_{t-3} + \epsilon_t \text{ avec } \epsilon_t \sim \mathcal{N}(0, 1)$$

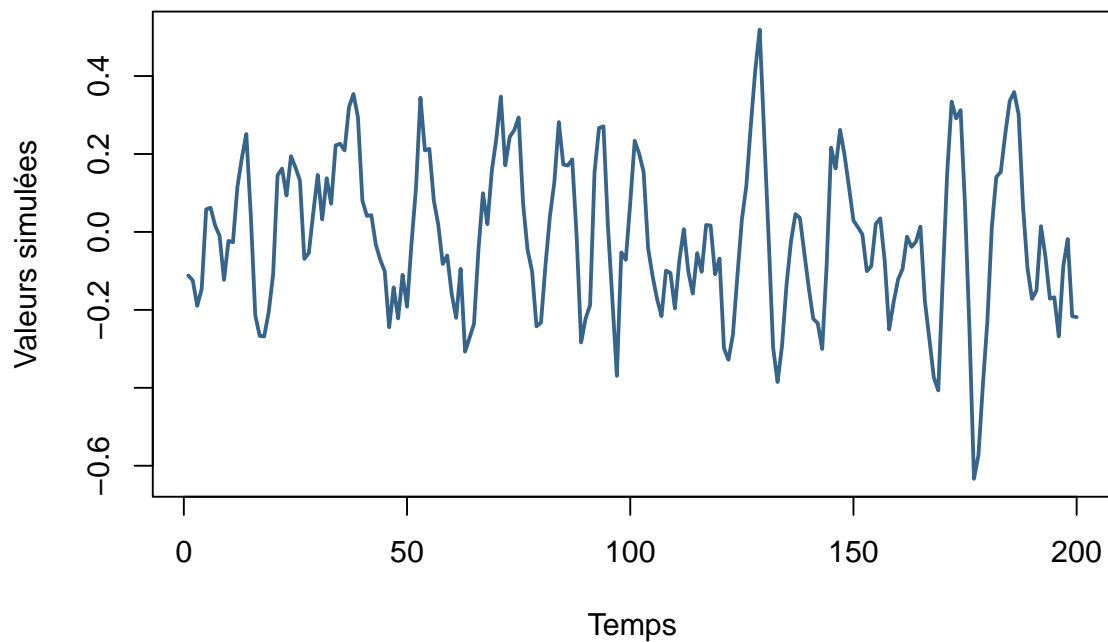
1.5.1 Simulation d'un processus AR(3) :

```

alpha = c(1, -.2, -.2)
sig = .1
p = 3
x = arima.sim(model = list(ar = alpha),
              sd = sig, n = 200)
plot(
  x,
  type = "l",
  col = palette_couleur[1],
  lwd = 2,
  main = "Simulation d'un processus AR(3)",
  ylab = "Valeurs simulées",
  xlab = "Temps"
)

```

Simulation d'un processus AR(3)

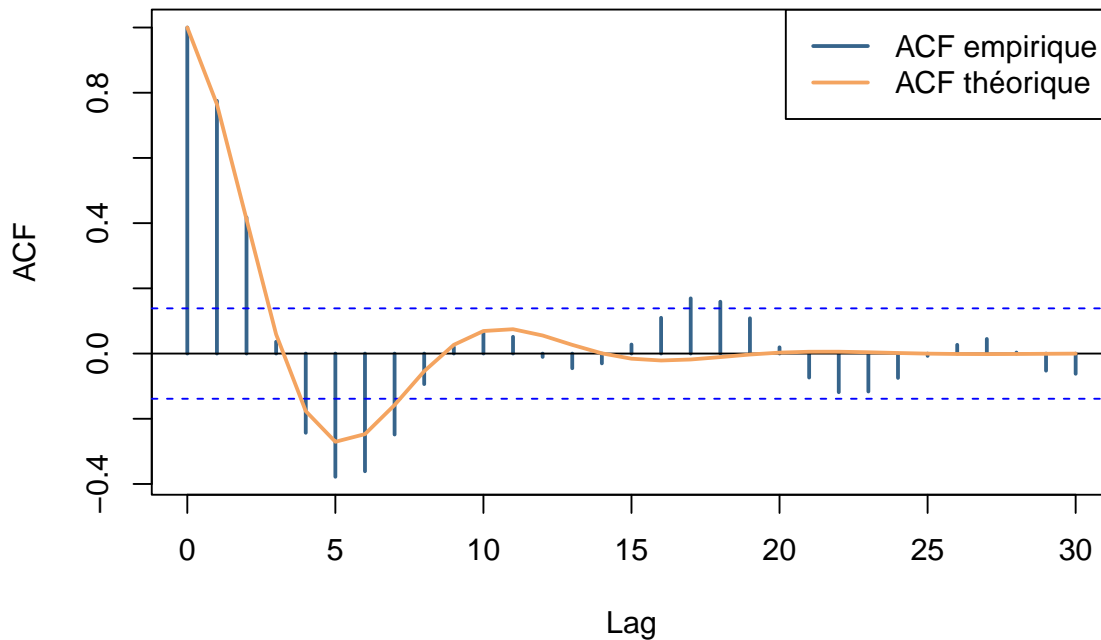


1.5.2 Calcul de la fonction d'autocorrélation théorique :

```
lmax = 30
acfth = ARMAacf(ar = alpha, lag.max = lmax) #fonction autocorrélation théorique
acfemp = acf(
  x,
  lag.max = lmax,
  main = "Fonction autocorrélation empirique",
  col = palette_couleur[1],
  lwd = 2
) #fonction autocorrélation empirique
lines(acfemp$lag, acfth, col = palette_couleur[2],
      lwd = 2) #comparaison

legend(
  'topright',
  c('ACF empirique', 'ACF théorique'),
  col = palette_couleur[1:2],
  lty = 1,
  lwd = 2
)
```

Fonction autocorrélation empirique



1.5.3 Ajustement d'un modèle AR(p) avec ou sans connaissance de p :

```
# Ajustement d'un modèle AR(p) avec connaissance de p :
y = ar(x, aic = FALSE, order.max = 3, demean = FALSE)
cat("Paramètres estimés en connaissant p : \n")
```

Paramètres estimés en connaissant p :

```
round(y$ar, 4)
```

```
[1] 1.0153 -0.1722 -0.2527
```

```
# Ajustement d'un modèle AR(p) sans connaissance de p :
y2 = ar(x)
cat("Paramètres estimés sans connaître p : \n")
```

Paramètres estimés sans connaître p :

```
round(y2$ar, 4) # Selection de l'ordre optimal
```

```
[1] 1.0142 -0.1711 -0.2547
```

1.5.4 Simulation d'un processus AR(3) non-centré :

```
alpha = c(1, -.2, -.2)
sig = .1
p = 3
x = arima.sim(model = list(ar = alpha),
              sd = sig, n = 200)
```

```

y = x + 1
fit = ar(y, aic = FALSE, order.max = 3, demean = TRUE)
# Demean = TRUE pour centrer la série temporelle

cat('Estimation de la moyenne : ', fit$x.mean, '\n')

```

Estimation de la moyenne : 1.019322

1.5.5 Ajustement d'un modèle AR(p) avec la fonction arima :

Commentaire :

Par défaut la fonction arima centre la série temporelle.

Inclure la moyenne dans le modèle comme intercept permet de centrer la série temporelle. (option demean = TRUE) dans la fonction ar et inclure.mean = TRUE dans la fonction arima.

Call:

```
arima(x = y, order = c(3, 0, 0), include.mean = TRUE)
```

Coefficients:

	ar1	ar2	ar3	intercept
	0.9315	-0.0868	-0.1523	1.0184
s.e.	0.0696	0.0959	0.0701	0.0207

sigma^2 estimated as 0.008143: log likelihood = 196.71, aic = -383.42

Call:

```
arima(x = y, order = c(3, 0, 0), include.mean = FALSE)
```

Coefficients:

	ar1	ar2	ar3
	1.0966	-0.1198	0.0175
s.e.	0.0707	0.1048	0.0707

sigma^2 estimated as 0.009753: log likelihood = 176.94, aic = -345.88

1.5.6 Intervalle de prédiction du modèle AR(3) :

```
confint(fit, level = .95) #intervalle de confiance
```

	2.5 %	97.5 %
ar1	0.7949985	1.06793797
ar2	-0.2746723	0.10113101
ar3	-0.2896533	-0.01502755
intercept	0.9779636	1.05892772

1.5.7 Prédiction d'un modèle AR(3) :

```

x = arima.sim(model = list(ar = c(1, -.2, -.2)),
              sd = .1, n = 200)
fit = ar(x, aic = FALSE, order.max = 3, demean = TRUE)
pred = predict(fit, n.ahead = 3)
pred

```

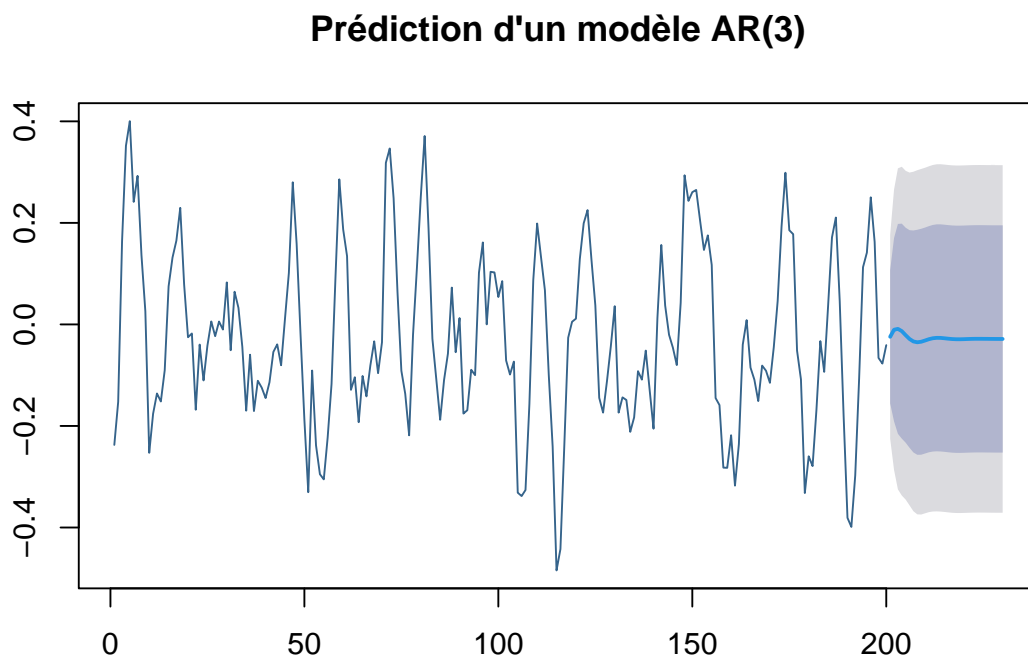
```
$pred
Time Series:
Start = 201
End = 203
Frequency = 1
[1] -0.024318171 -0.010415514 -0.008772933
```

```
$se
Time Series:
Start = 201
End = 203
Frequency = 1
[1] 0.1024022 0.1408759 0.1613118
```

1.5.7.1 Représentation graphique de la prédiction : Commentaire :

L'intervalle de prédiction est compris entre 80% et 95% de confiance.

```
library(forecast)
pm <- forecast(fit, h = 30)
plot(pm, main = "Prédiction d'un modèle AR(3)", col = palette_couleur[1])
```



1.6 Modélisation ARMA(p,q) :

1.6.1 Ajustement d'un modèle ARMA(p,q) quand p et q sont connus :

```
set.seed(123)
p = 2 # ordre AR
```

```

q = 2 # ordre MA
alpha = c(0.9,-0.2) # coefficients AR
beta = c(0.8,0.5) # coefficients MA
sigma = 1 # écart-type du bruit
n = 10^3 # nombre de simulations
x = arima.sim(model = list(ar = alpha, ma = beta), sd = sigma, n = n) # simulation
mod = arima(x, order = c(p,0,q))

dt = data.frame(
  alpha_reel = alpha,
  alpha_estim = mod$coef[1:p],
  beta_reel = beta,
  beta_estim = mod$coef[(p+1):(p+q)]
rownames(dt) = c('lag1', 'lag2')
round(dt, 4)

```

	alpha_reel	alpha_estim	beta_reel	beta_estim
lag1	0.9	0.8322	0.8	0.8462
lag2	-0.2	-0.1636	0.5	0.5273

Commentaire :

Les paramètres estimés sont proches des paramètres réels. Une augmentation du nombre de simulations permet d'améliorer la précision des estimations.

1.6.2 Ajustement d'un modèle ARMA(p,q) quand p et q sont inconnus :

Commentaire : quand les paramètres sont inconnus on peut utiliser des critères d'informations tels que (AIC, BIC) pour sélectionner le meilleur modèle, on doit minimiser ces critères.

```

pmax = 5 #valeur max pour p
qmax = 5 #valeur max pour q
AIC = matrix(0, nrow = pmax + 1, ncol = qmax + 1) #tableau pour stocker les valeurs du AIC
for (p in 0:pmax) {
  for (q in 0:qmax) {
    AIC[p + 1, q + 1] = arima(x, order = c(p, 0, q))$aic #calcul du AIC
  }
}

colnames(AIC) <- paste("q =", 0:qmax)
rownames(AIC) <- paste("p =", 0:pmax)
AIC

```

1.6.2.1 Méthode de sélection par boucle :

	q = 0	q = 1	q = 2	q = 3	q = 4	q = 5
p = 0	5038.096	3993.394	3264.579	2974.258	2884.715	2864.898
p = 1	3560.485	3118.934	2861.834	2856.077	2856.491	2858.490
p = 2	3008.832	2948.911	2854.911	2856.711	2858.547	2861.214
p = 3	2918.651	2919.119	2856.651	2858.609	2860.586	2862.460
p = 4	2917.311	2893.297	2858.495	2860.460	2862.461	2864.433
p = 5	2883.806	2871.007	2860.461	2862.465	2864.442	2866.471

```

# On renvoie l'indice du minimum de AIC :
p = which(AIC == min(AIC), arr.ind = TRUE)[1] - 1

```

```
q = which(AIC == min(AIC), arr.ind = TRUE)[2] - 1
cat("Meilleur modèle ARMA(p,q) : p = ", p, " q = ", q, "\n")
```

Meilleur modèle ARMA(p,q) : p = 2 q = 2

```
library(forecast)
auto.arima(x, stationary = TRUE, seasonal = FALSE)
```

1.6.2.2 Méthode de sélection avec la fonction auto.arima :

Series: x
ARIMA(1,0,4) with zero mean

Coefficients:

	ar1	ma1	ma2	ma3	ma4
	0.5351	1.1427	0.8673	0.2508	0.0667
s.e.	0.0732	0.0783	0.1246	0.1129	0.0529

sigma^2 = 1.007: log likelihood = -1421.46
AIC=2854.92 AICc=2855 BIC=2884.36

Paramétrages de la fonction :

```
auto.arima(x, stationary = TRUE, seasonal = FALSE, stepwise=FALSE, max.order=10, approximation = FALSE)
```

Series: x
ARIMA(2,0,2) with zero mean

Coefficients:

	ar1	ar2	ma1	ma2
	0.8323	-0.1632	0.8465	0.5274
s.e.	0.0575	0.0536	0.0512	0.0375

sigma^2 = 1.006: log likelihood = -1421.67
AIC=2853.33 AICc=2853.39 BIC=2877.87

Sélection par la méthode du BIC

```
auto.arima(x, stationary = TRUE, seasonal = FALSE, ic="bic", max.order=10)
```

Series: x
ARIMA(1,0,3) with zero mean

Coefficients:

	ar1	ma1	ma2	ma3
	0.6043	1.0705	0.7373	0.1238
s.e.	0.0403	0.0473	0.0604	0.0437

sigma^2 = 1.007: log likelihood = -1422.24
AIC=2854.48 AICc=2854.54 BIC=2879.02

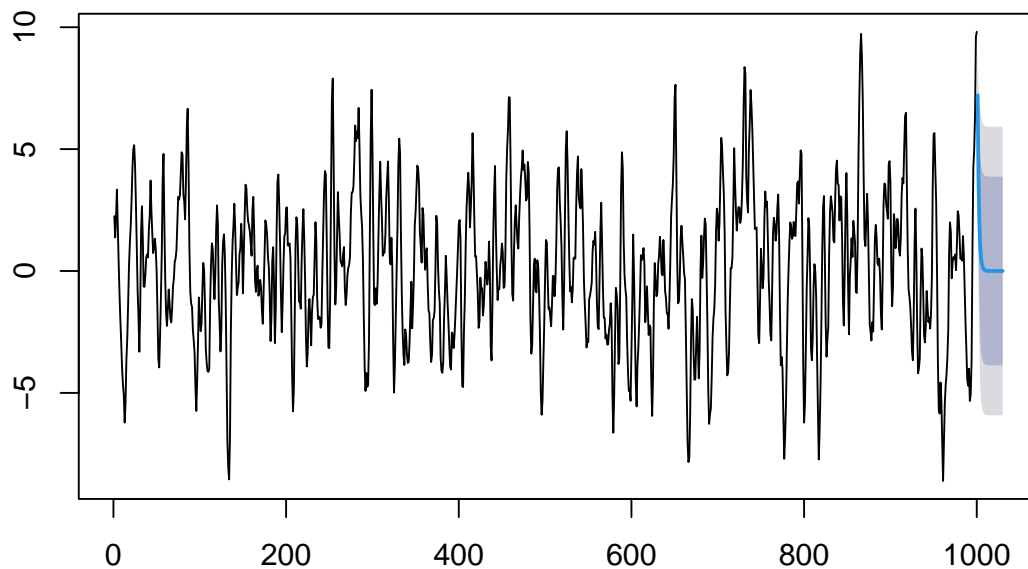
Commentaire :

La méthode BIC a tendance à sélectionner moins de paramètres que la méthode AIC. Elle discrimine mieux les modèles complexes.

1.6.3 La prédiction des modélisations ARMA(p,q) :

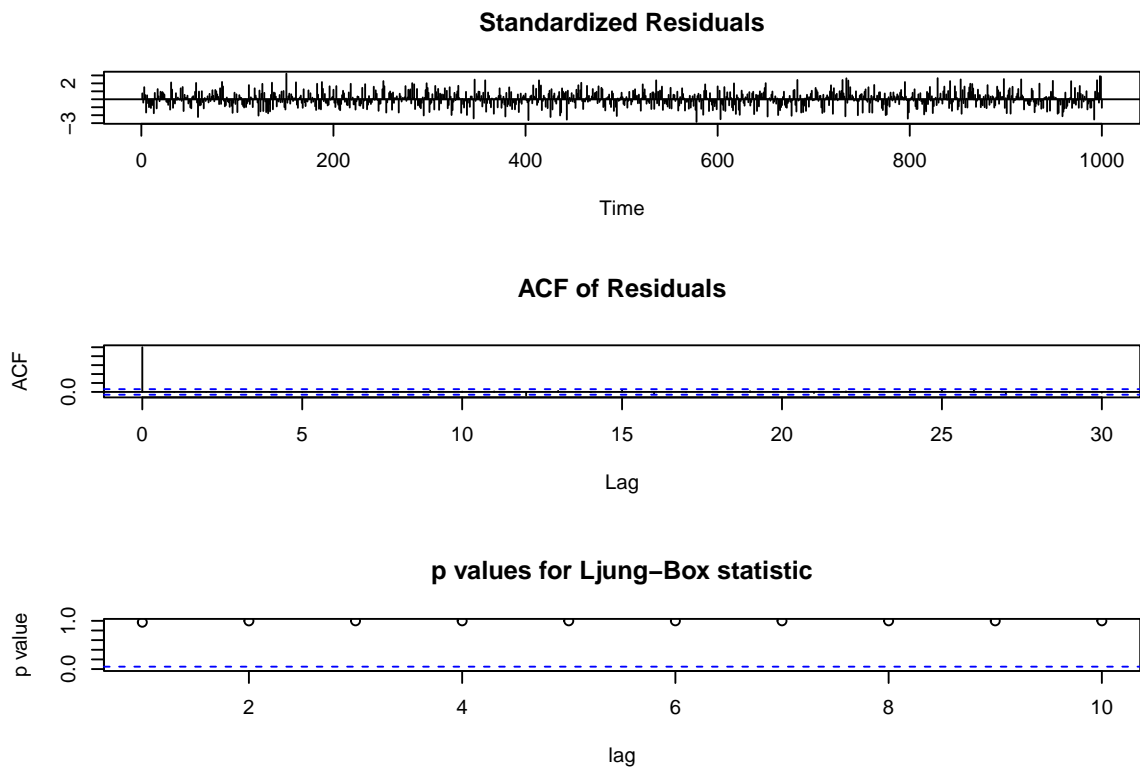
```
fit = auto.arima(x, stationary = TRUE, seasonal = FALSE)
#ajustement du modèle arma, inclut la sélection de modèle
pm <- forecast(fit, h = 30) #représentation graphique
plot(pm) # intervalles prédiction à 80% et 95%
```

Forecasts from ARIMA(1,0,4) with zero mean



1.6.4 Vérification de la stationnarité d'un processus ARMA(p,q) :

```
# Bruit blanc ?
tsdiag(fit)
```



```
# Test de gaussienneté des résidus :
shapiro.test(fit$residuals)
```

Shapiro-Wilk normality test

```
data: fit$residuals
```

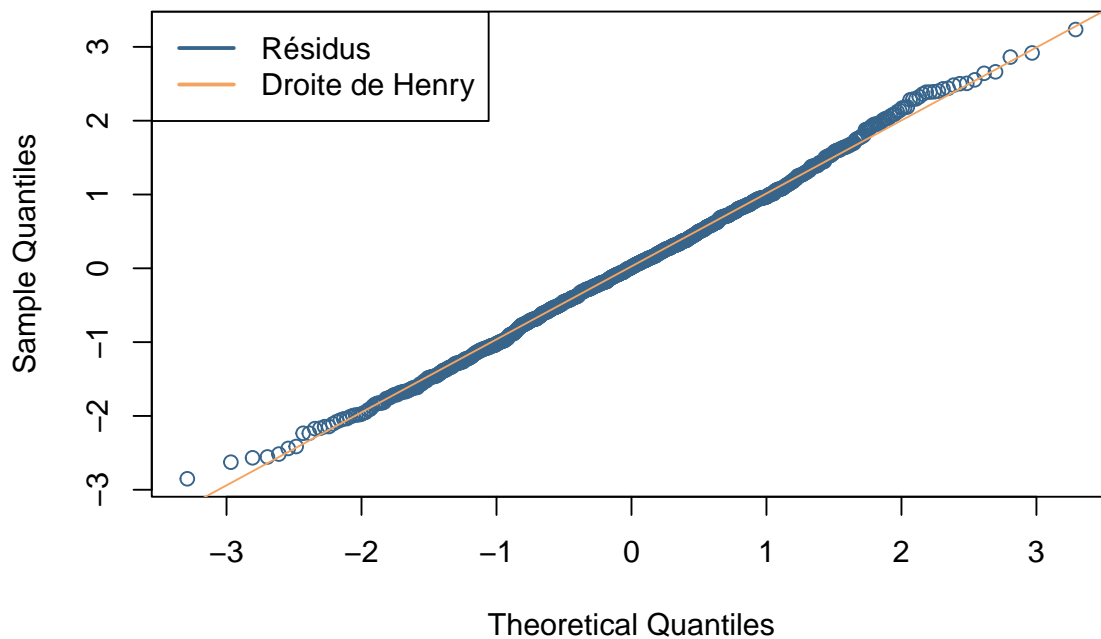
```
W = 0.9981, p-value = 0.3252
```

```
qqnorm(fit$residuals, col = palette_couleur[1])
```

```
qqline(fit$residuals, col = palette_couleur[2])
```

```
legend('topleft', c('Résidus', 'Droite de Henry'), col = palette_couleur[1:2], lwd = 2)
```

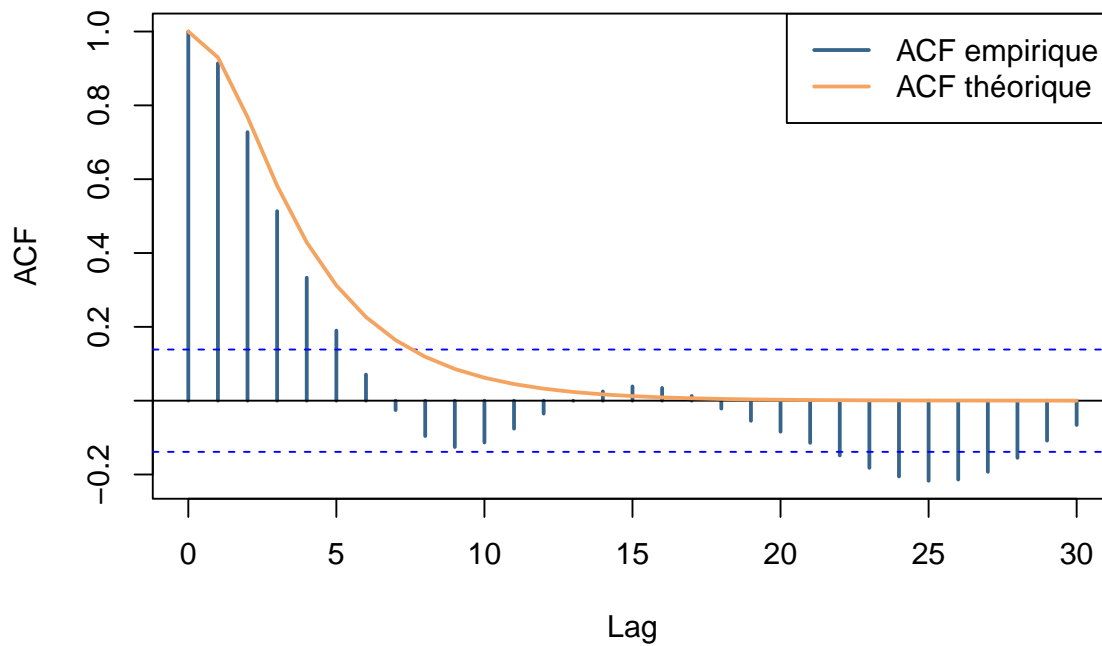
Normal Q-Q Plot



1.6.5 Fonction auto-corrélation d'un processus ARMA(p,q) :

```
lmax = 30
alpha = c(1, -0.2) #partie AR
beta = c(1, 1) #partie MA
x = arima.sim(model = list(ar = alpha, ma = beta),
              sd = 1,
              n = 200)
acfth = ARMAacf(ar = alpha,
               ma = beta,
               lag.max = lmax) #fonction autocorrélation théorique
acfemp = acf(x, lag.max = lmax,
             main = "Fonction autocorrélation empirique",
             col = palette_couleur[1],
             lwd = 2) #fonction autocorrélation empirique
lines(acfemp$lag, acfth, col = palette_couleur[2],
      lwd = 2) #comparaison
legend(
  'topright',
  c('ACF empirique', 'ACF théorique'),
  col = palette_couleur[1:2],
  lty = 1,
  lwd = 2
)
```

Fonction autocorrélation empirique

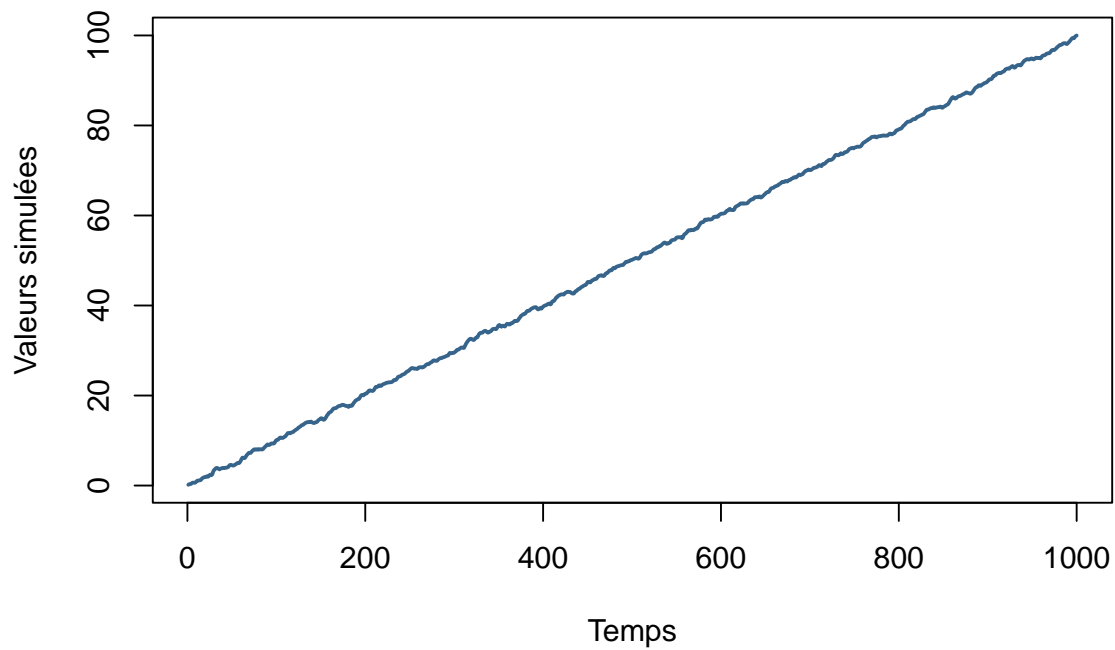


1.7 Modélisation de composantes non stationnaires :

1.7.1 Simulation ARMA non stationnaires

```
p = 1 #valeur de p
q = 1 #valeur de q
alpha = c(.9) #alpha
beta = c(.8) #beta
sig = .1 #sigma
time = 10^3
x = arima.sim(model = list(ar = alpha, ma = beta),
              sd = sig,
              n = time) #simulation modèle ARMA(1,1)
y = x + .1 * (1:time) #ajout tendance linéaire
plot(
  y,
  main = "Simulation d'un processus ARMA(1,1) non stationnaire",
  ylab = "Valeurs simulées",
  xlab = "Temps",
  type = "l",
  col = palette_couleur[1],
  lwd = 2
)
```

Simulation d'un processus ARMA(1,1) non stationnaire



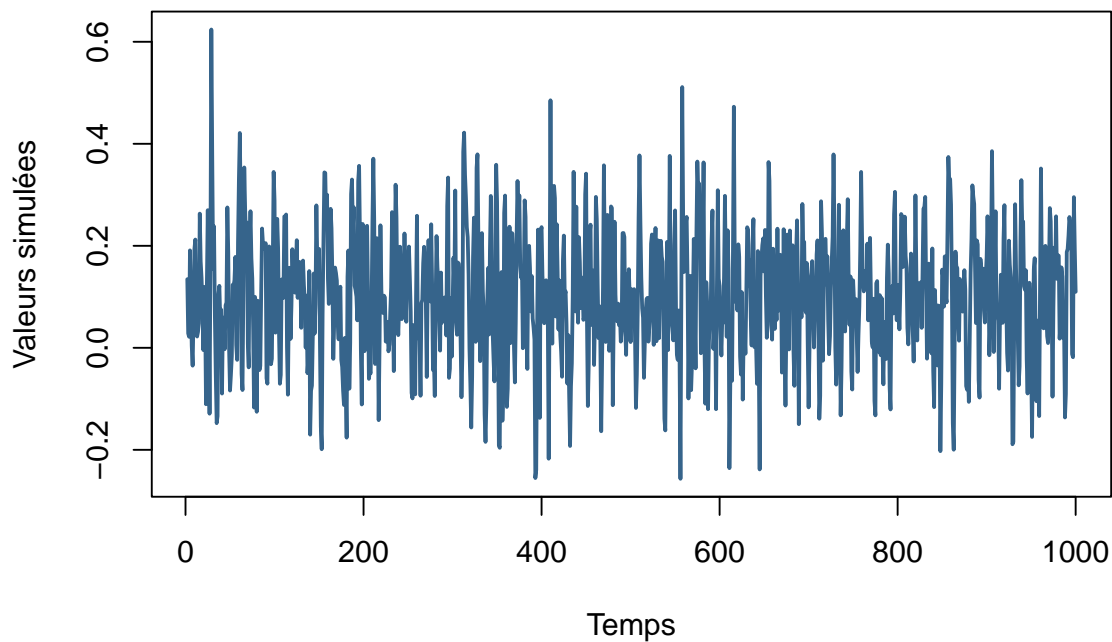
Commentaire :

On voit que le processus n'est pas stationnaire, il y a une tendance linéaire.

1.7.2 Stationnarisation possible, la différence première :

```
plot(diff(y),  
     main = "Différence première d'un processus ARMA(1,1) non stationnaire",  
     ylab = "Valeurs simulées",  
     xlab = "Temps",  
     type = "l",  
     col = palette_couleur[1],  
     lwd = 2)
```

Différence première d'un processus ARMA(1,1) non stationnaire



```
arma = arima(diff(y), order = c(p, 0, q+1))
arma_centree = arima(diff(y)-mean(diff(y)), order = c(p, 0, q+1))
arma
```

1.7.2.1 Ajustement du modèle ARMA(p, q+1) pour la différence première :

Call:

```
arima(x = diff(y), order = c(p, 0, q + 1))
```

Coefficients:

	ar1	ma1	ma2	intercept
	0.8877	-0.1937	-0.8062	0.0997
s.e.	0.0148	0.0195	0.0192	0.0002

sigma^2 estimated as 0.009666: log likelihood = 897.21, aic = -1784.41

```
arma_centree
```

Call:

```
arima(x = diff(y) - mean(diff(y)), order = c(p, 0, q + 1))
```

Coefficients:

	ar1	ma1	ma2	intercept
	0.8877	-0.1937	-0.8062	-2e-04
s.e.	0.0148	0.0195	0.0192	2e-04

sigma² estimated as 0.009666: log likelihood = 897.21, aic = -1784.41

Commentaire :

La série $\text{diff}(y)$ n'est pas de moyenne nulle pourtant la fonction `arima` considère que la série est centrée.

```
arma2 = arima(y, order = c(p, 0, q+1))
arma2
```

1.7.2.2 Ajustement du modèle ARMA(p,q+1) sur la série temporelle initiale :

Call:

```
arima(x = y, order = c(p, 0, q + 1))
```

Coefficients:

	ar1	ma1	ma2	intercept
	0.9999	0.9444	0.1327	59.6200
s.e.	NaN	0.0291	0.0282	7.5712

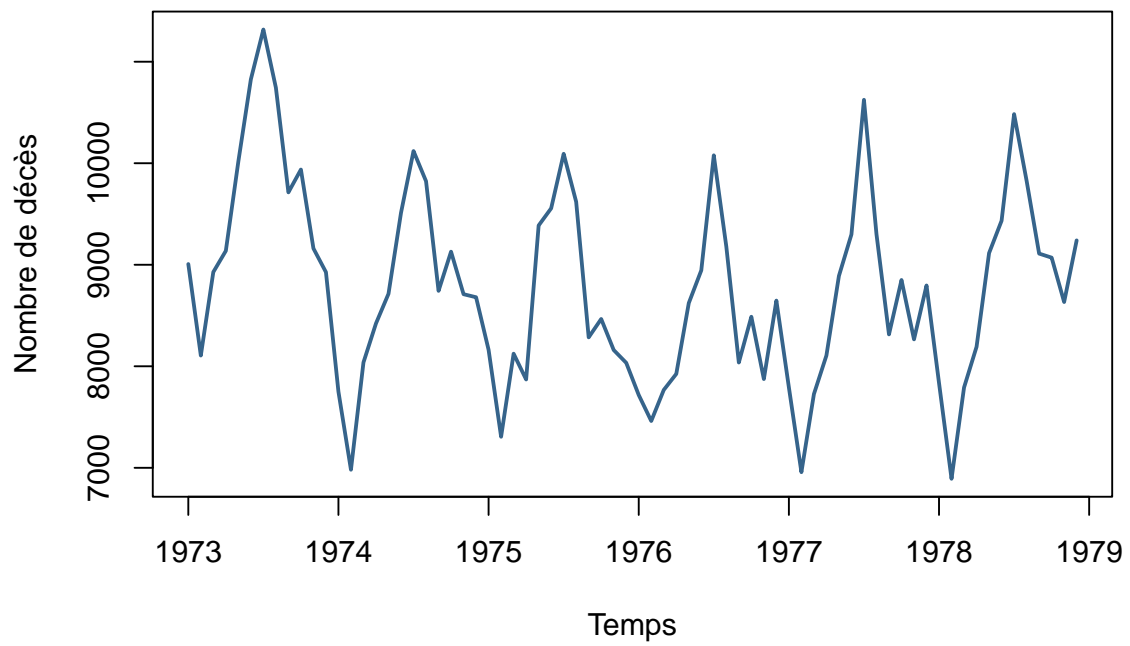
sigma² estimated as 0.01291: log likelihood = 754.78, aic = -1499.55

1.8 Illustration des séries temporelles avec de la saisonnalité :

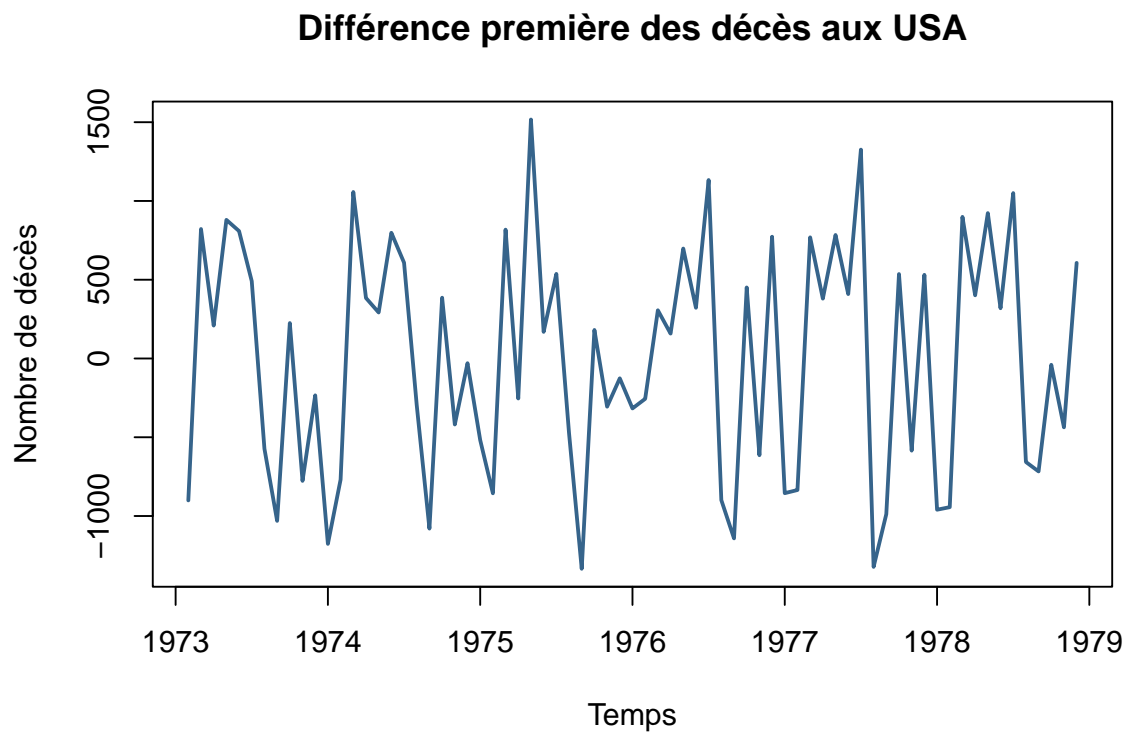
1.8.1 Série temporelle avec saisonnalité et sans tendance :

```
plot(USAccDeaths,
     main = "Décès aux USA",
     ylab = "Nombre de décès",
     xlab = "Temps",
     type = "l",
     col = palette_couleur[1],
     lwd = 2)
```

Décès aux USA



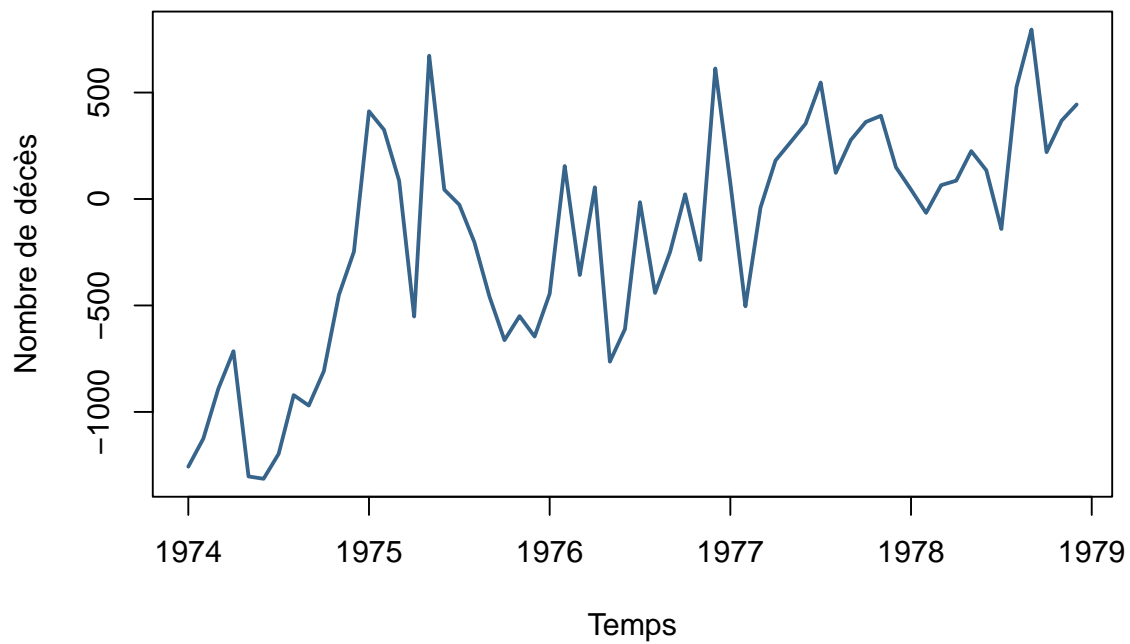
```
plot(diff(USAccDeaths),  
     main = "Différence première des décès aux USA",  
     ylab = "Nombre de décès",  
     xlab = "Temps",  
     type = "l",  
     col = palette_couleur[1],  
     lwd = 2)
```

1.8.2 Série temporelle avec saisonnalité et tendance :

```
plot(diff(USAccDeaths, lag = 12),  
     main = "Différence première des décès aux USA",  
     ylab = "Nombre de décès",  
     xlab = "Temps",  
     type = "l",  
     col = palette_couleur[1],  
     lwd = 2)
```

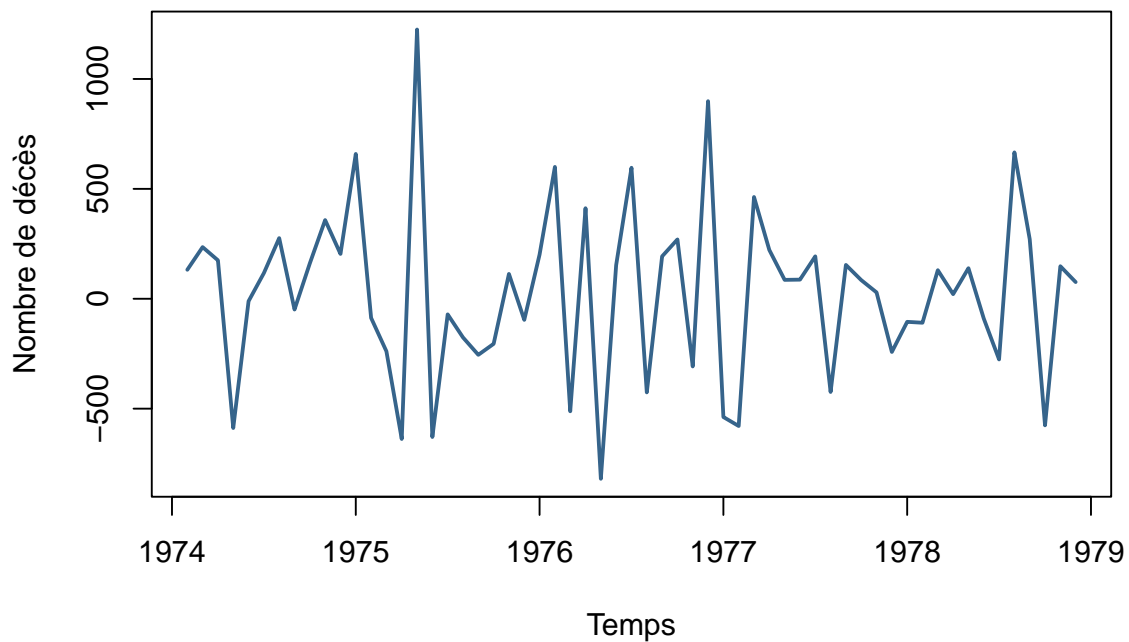
Différence première des décès aux USA



1.8.3 Série sans saisonnalité et sans tendance :

```
plot(diff(diff(USAccDeaths, lag = 12)),  
     main = "Différence seconde des décès aux USA",  
     ylab = "Nombre de décès",  
     xlab = "Temps",  
     type = "l",  
     col = palette_couleur[1],  
     lwd = 2)
```

Différence seconde des décès aux USA



```
dt = data.frame(
  Longueur = c(length(USAccDeaths), length(diff(USAccDeaths)), length(diff(USAccDeaths, lag = 12)), length(diff(USAccDeaths, lag = 24))),
  Différence = c("Aucune", "Première", "Première + lag 12", "première de (première + lag 12)"))
dt
```

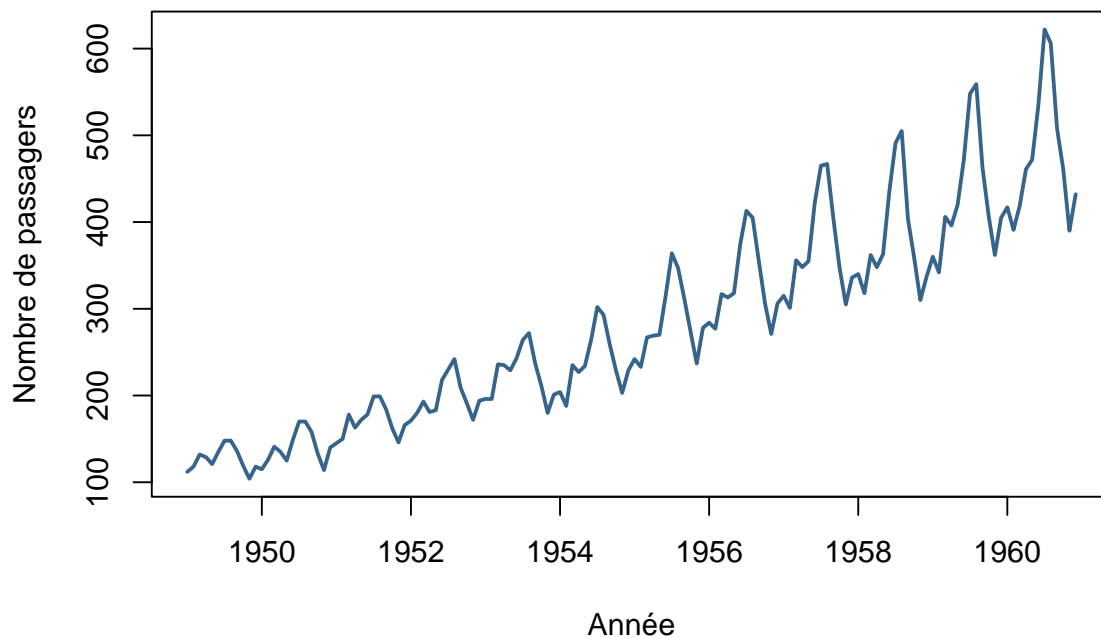
1.8.3.1 Diminution de la taille de la série :

	Longueur	Différence
1	72	Aucune
2	71	Première
3	60	Première + lag 12
4	59	première de (première + lag 12)

1.9 Modèles paramétriques saisonniers :

```
plot(AirPassengers,
     main = "Evolution du nombre de passagers aériens",
     ylab = "Nombre de passagers",
     xlab = "Année",
     type = "l",
     col = palette_couleur[1],
     lwd = 2)
```

Evolution du nombre de passagers aériens



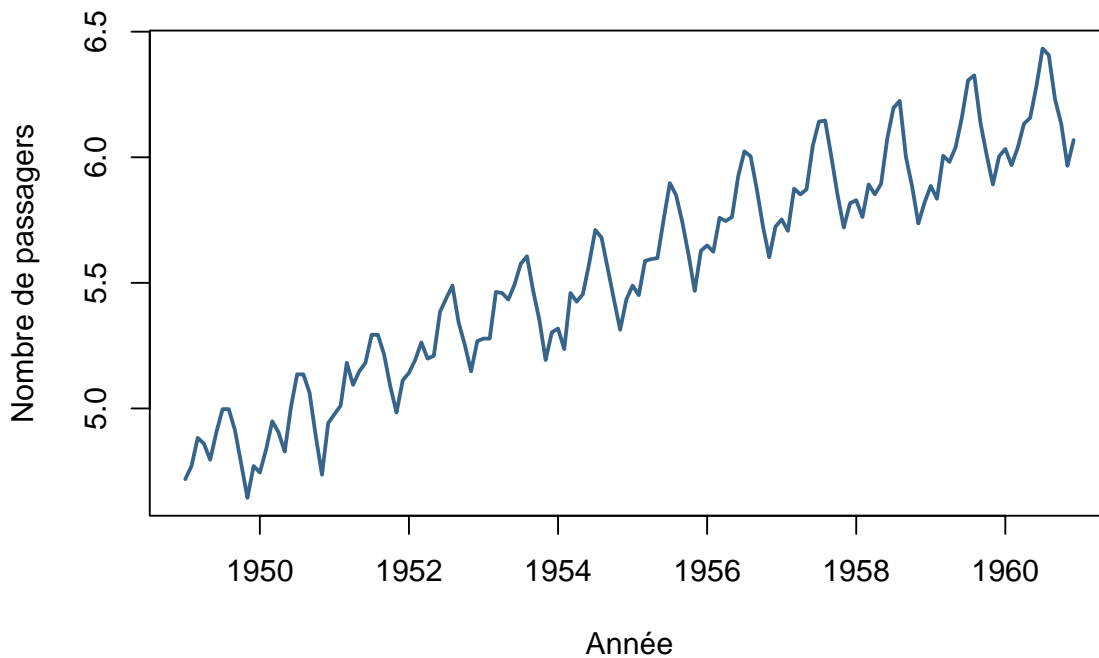
Commentaire :

Augmentation de l'amplitude du cycle saisonnier et la tendance au cours du temps.

1.9.1 Stabilisation du cycle saisonnier par application du log :

```
plot(log(AirPassengers),  
     main = "log : Evolution du nombre de passagers aériens",  
     ylab = "Nombre de passagers",  
     xlab = "Année",  
     type = "l",  
     col = palette_couleur[1],  
     lwd = 2)
```

log : Evolution du nombre de passagers aériens



Commentaire :

Il est préférable de prendre un modèle multiplicatif pour les séries temporelles avec une tendance exponentielle. A l'inverse les séries temporelles avec une tendance linéaire peuvent être modélisées par un modèle additif.

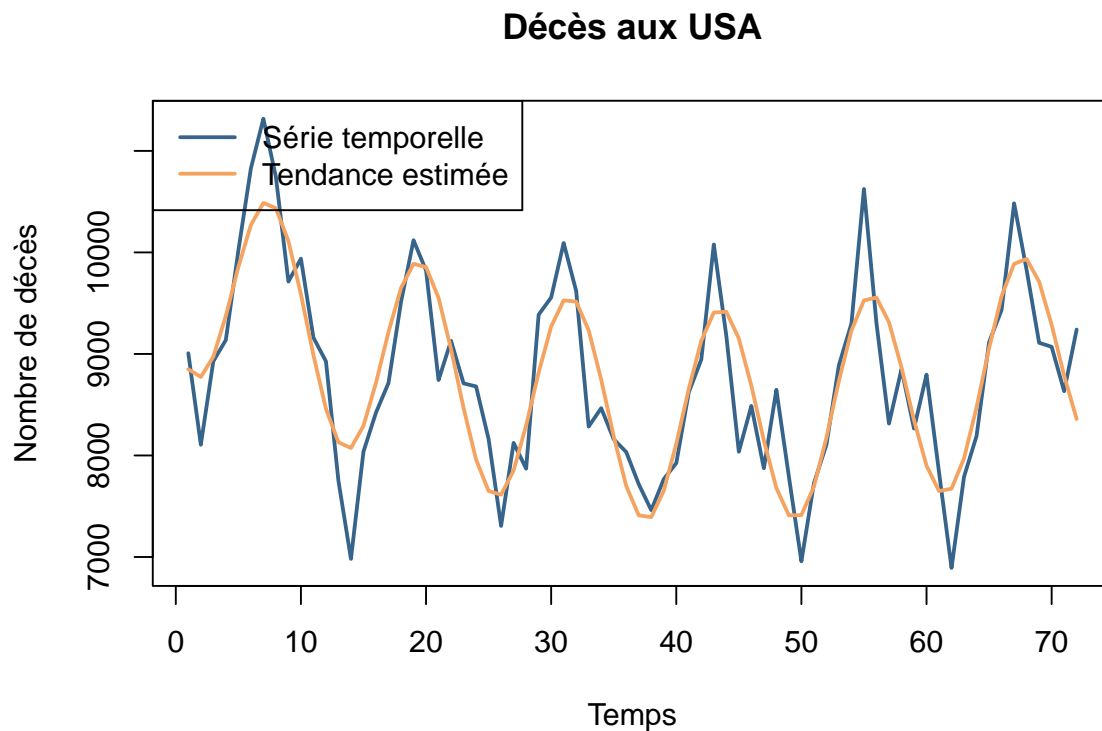
1.9.2 Estimation des paramètres de la saisonnalité :

```
Time = length(USAccDeaths)
data = data.frame(
  USAccDeaths,
  t = 1:Time,
  t2 = (1:Time) ^ 2,
  cos = cos(2 * pi * (1:Time) / 12),
  sin = sin(2 * pi * (1:Time) / 12)
)
fit = lm(USAccDeaths ~ ., data = data)
plot(
  1:Time,
  USAccDeaths,
  main = "Décès aux USA",
  ylab = "Nombre de décès",
  xlab = "Temps",
  type = "l",
  col = palette_couleur[1],
  lwd = 2
)
lines(1:Time, fit$fitted.values, col = palette_couleur[2], lwd = 2)
```

```

legend(
  'topleft',
  c('Série temporelle', 'Tendance estimée'),
  col = palette_couleur[1:2],
  lwd = 2
)

```

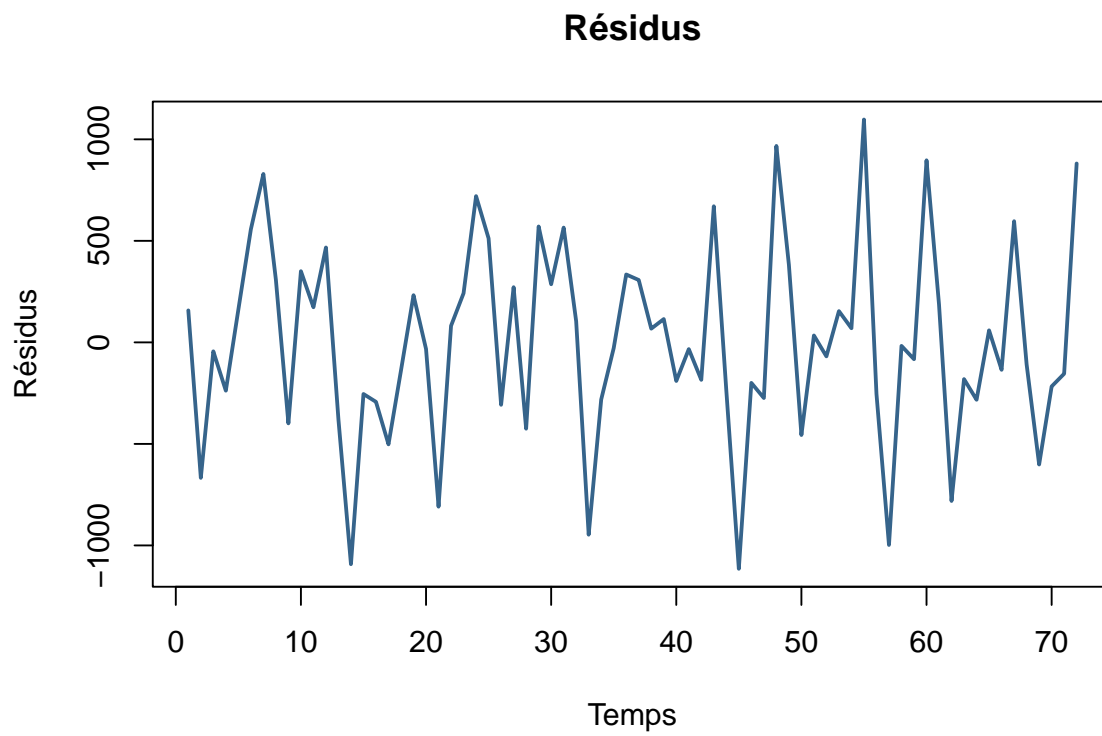


1.9.3 Vérification du choix d'estimation de la composante saisonnière :

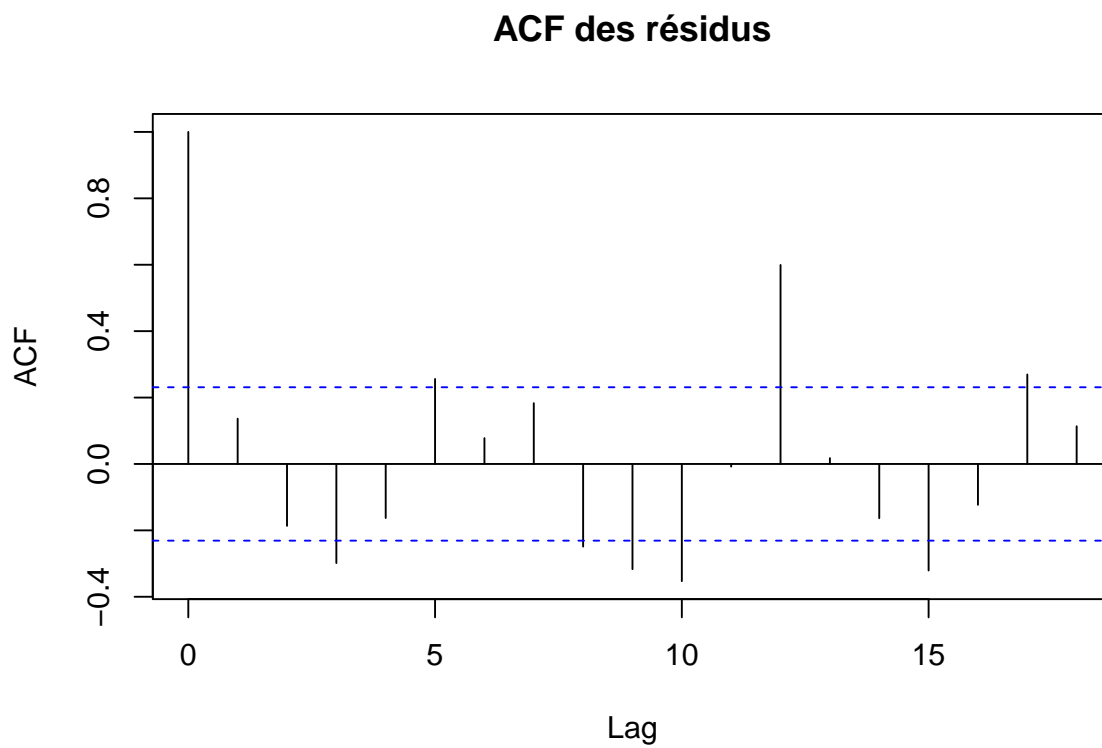
```

plot(fit$residuals,
  main = "Résidus",
  ylab = "Résidus",
  xlab = "Temps",
  type = "l", col = palette_couleur[1], lwd = 2)

```



```
acf(fit$residuals, main = "ACF des résidus")
```



Commentaire :

La saisonnalité n'est pas bien modélisée, on remarque qu'il reste une tendance dans les résidus notamment tous les 12 mois.

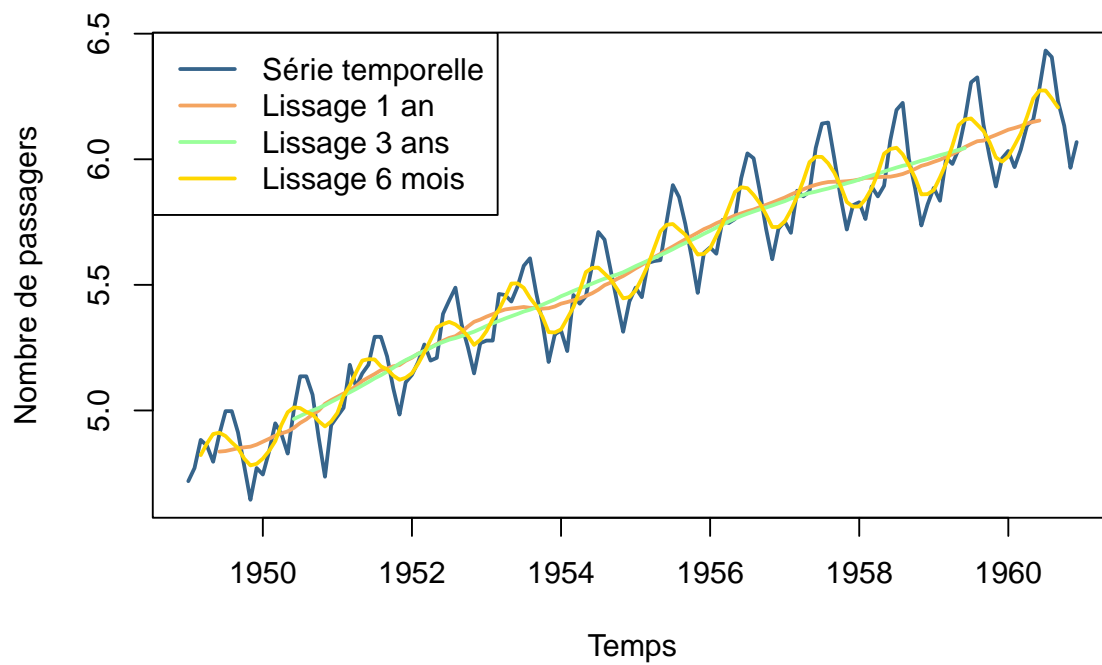
1.10 Lissage non paramétrique :

```
# Estimation de la tendance par moyenne mobile :
plot(log(AirPassengers),
     main = "Lissage non paramétrique",
     ylab = "Nombre de passagers",
     xlab = "Temps",
     type = "l",
     col = palette_couleur[1],
     lwd = 2)
# Fenêtre de largeur 1 an :
L = 12
hatx = stats::filter(log(AirPassengers), filter = rep(1 / (L), L))
lines(hatx,
     col = palette_couleur[2],
     lwd = 2) #estimateur non paramétrique de la tendance

# Fenêtre de largeur 3 ans :
L = 36
hatx = stats::filter(log(AirPassengers), filter = rep(1 / (L), L))
lines(hatx,
     col = palette_couleur[3],
     lwd = 2) #lissage plus important

# Fenêtre de largeur 6 mois :
L = 6
hatx = stats::filter(log(AirPassengers), filter = rep(1 / (L), L))
lines(hatx,
     col = palette_couleur[4],
     lwd = 2) #composante saisonnière toujours présente
legend(
  'topleft',
  c('Série temporelle', 'Lissage 1 an', 'Lissage 3 ans', 'Lissage 6 mois'),
  col = palette_couleur[1:4],
  lwd = 2
)
```

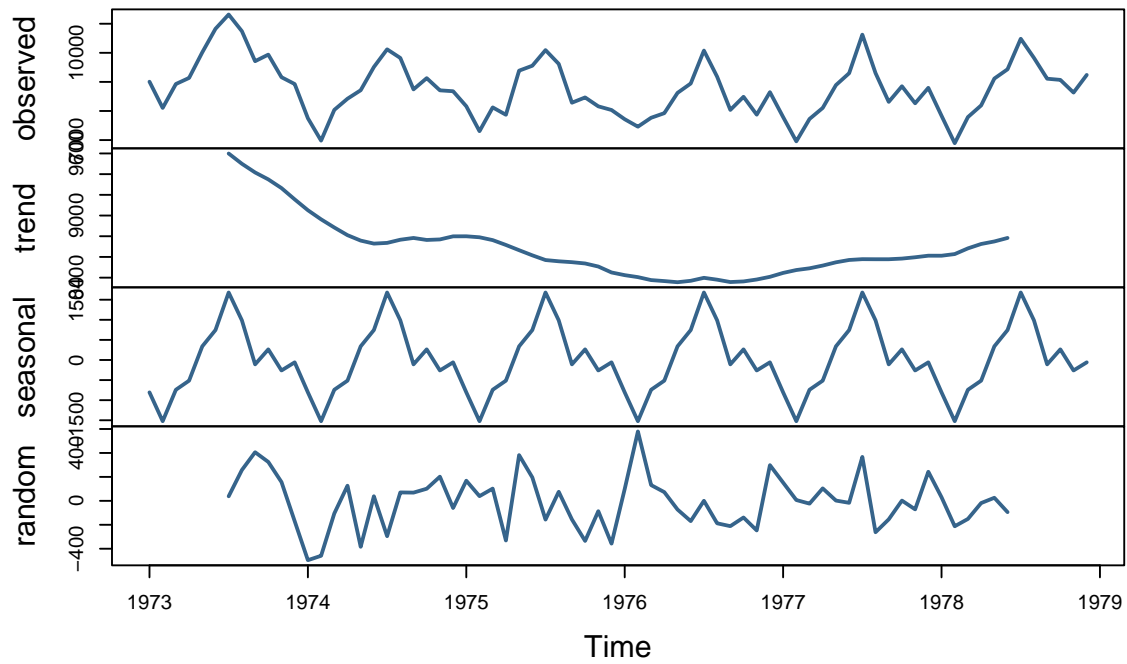

Lissage non paramétrique



1.10.1 Décomposition de la série temporelle, méthode des moyennes mobiles :

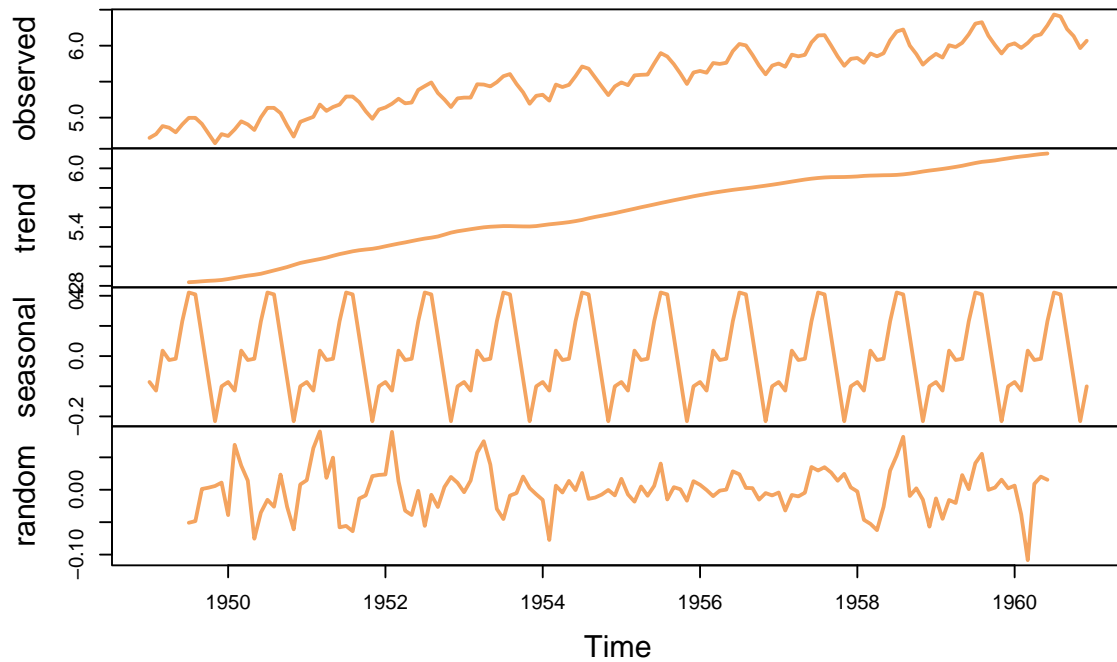
```
plot(decompose(USAccDeaths), lwd = 2,  
     col = palette_couleur[1])
```

Decomposition of additive time series



```
plot(decompose(log(AirPassengers)), lwd = 2,  
     col = palette_couleur[2])
```

Decomposition of additive time series

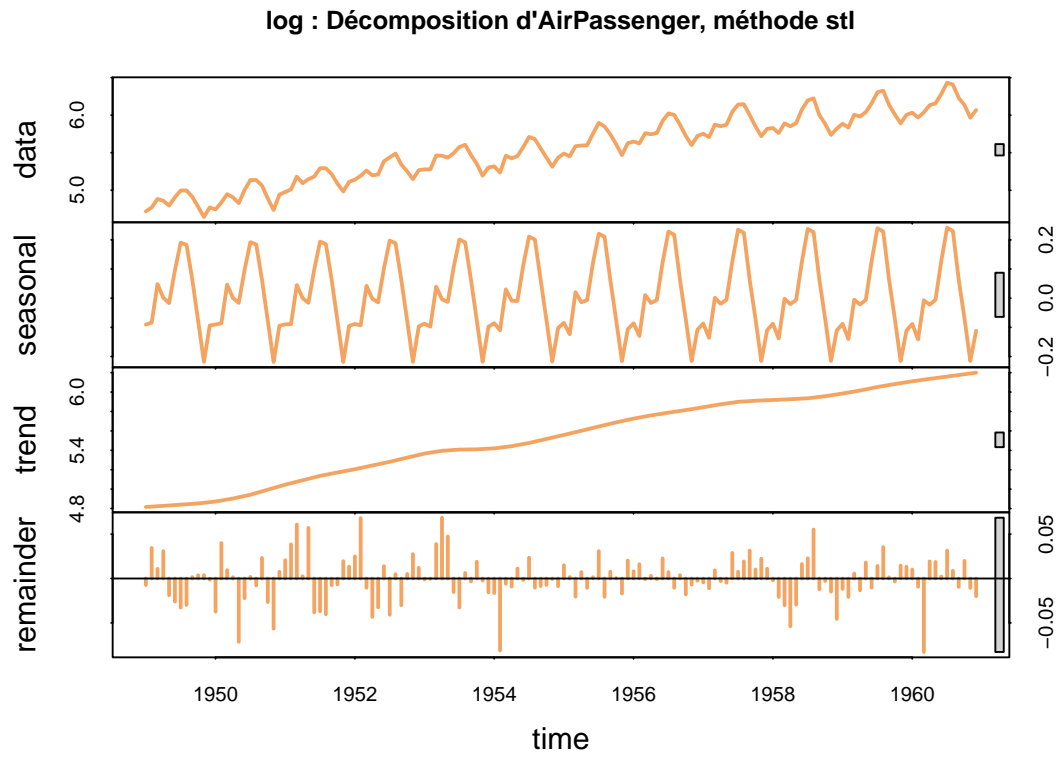


1.10.2 Décomposition de la série temporelle, méthode STL :

Commentaire :

La fonction `stl` décompose la série temporelle en trois composantes : saisonnalité, tendance et résidus. Elle n'utilise pas la méthodes des moyennes mobiles, mais une méthode de lissage basée sur la régression polynomiale.

```
plot(stl(log(AirPassengers), s.window = 12),  
     main = "log : Décomposition d'AirPassenger, méthode stl",  
     lwd = 2,  
     col = palette_couleur[2])
```



2 Travaux dirigés

2.1 Exercice 1: Simulation de différents processus :

2.1.1 Simulation MA(1) :

$$A_t = \epsilon_t + \beta\epsilon_{t-1} \text{ avec } \epsilon_t \sim \mathcal{N}(0, 1)$$

```
# Paramètres de la simulation :
Time = 1000
sigma = 1
beta = 0.5

# Simulation par formule :
esp = rnorm(Time + 1, sd = sigma)
A = esp[2:(Time+1)] + beta * esp[1:Time]

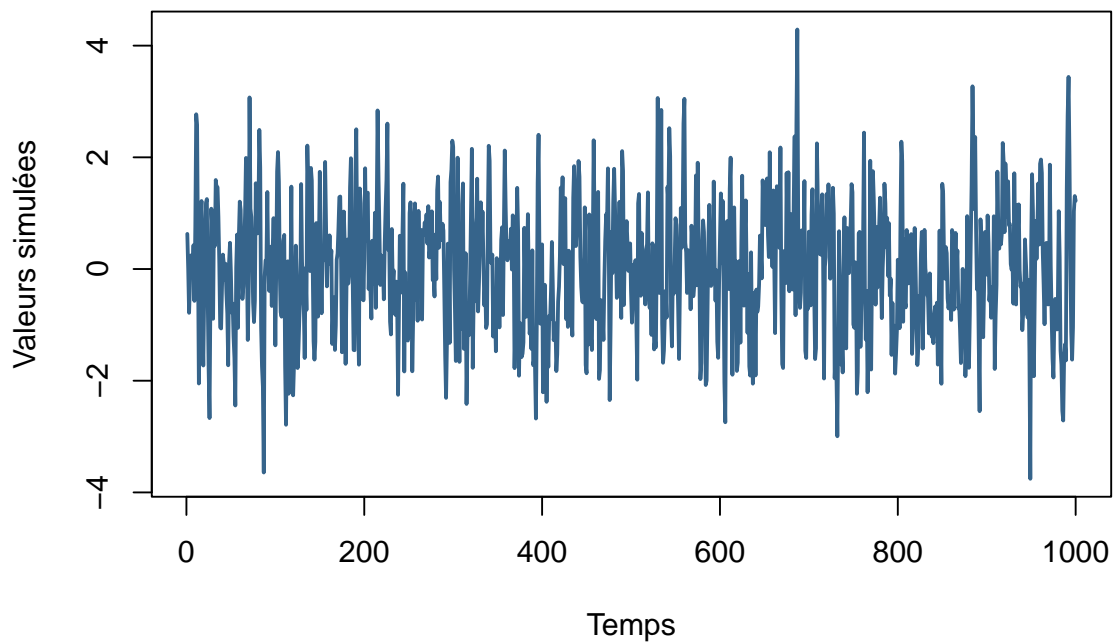
# Simulation par fonction intégrée :
A2 = arima.sim(model = list(ma = beta), n = Time, sd = sigma)

# Acf Théorique d'un processus MA(1) :
ARMAacf(ma = beta, lag.max = 20)

  0   1   2   3   4   5   6   7   8   9  10  11  12  13  14  15  16  17  18  19
1.0 0.4 0.0 0.0 0.0 0.0 0.0 0.0 0.0 0.0 0.0 0.0 0.0 0.0 0.0 0.0 0.0 0.0 0.0 0.0
20
0.0

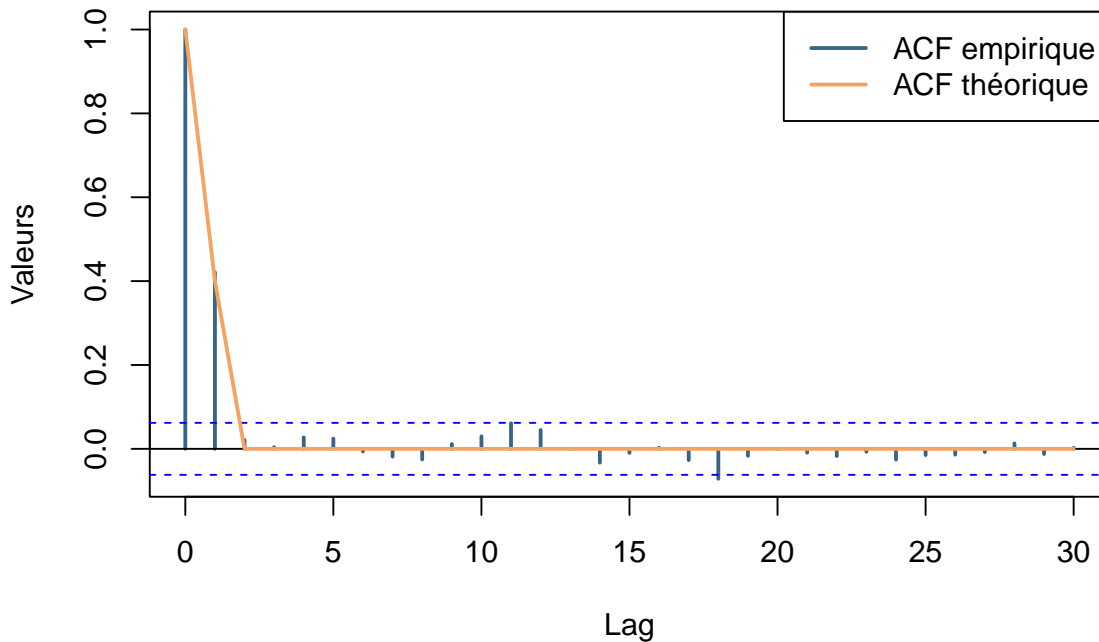
# Représentation graphique :
plot(
  A,
  type = 'l',
  main = 'Simulation d\'un processus MA(1)',
  ylab = 'Valeurs simulées',
  xlab = 'Temps',
  col = palette_couleur[1],
  lwd = 2
)
```

Simulation d'un processus MA(1)



```
ac = acf(A,  
  main = "Fonction autocorrélation processus MA(1)",  
  ylab = "Valeurs",  
  col = palette_couleur[1],  
  lwd = 2) #acf empirique  
lines(ac$lag, c(1, beta / (1 + beta ^ 2), rep(0, length(ac$lag) - 2)),  
  col = palette_couleur[2],  
  lwd = 2) #acf théorique  
#Alternative :  
# lines(ac$lag,  
#       ARMAacf(ma = beta, lag.max = ac$lag[length(ac$lag)]),  
#       col = palette_couleur[3],  
#       lwd = 2) #acf alternative  
legend(  
  'topright',  
  c('ACF empirique', 'ACF théorique'),  
  col = palette_couleur[1:2],  
  lty = 1,  
  lwd = 2)
```

Fonction autocorrélation processus MA(1)



Commentaires :

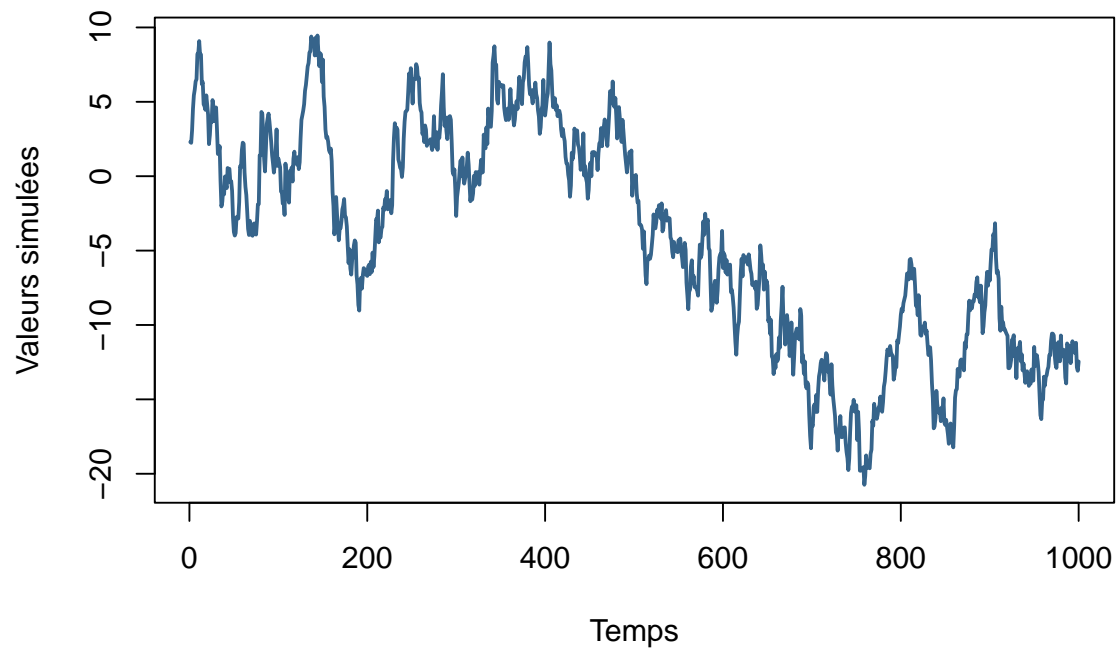
L'acf (acf=fonction d'autocorrélation) empirique doit être proche de l'acf théorique si T est grand (estimateur consistant). L'acf montre l'existence d'une dépendance entre les valeurs successives, X_t et X_{t+h} sont non corrélées si $h > 1$. Les bornes de l'intervalle bleu sont égales à $\pm 1.96/T^{0.5}$. Pour un bruit blanc, on doit avoir l'acf empirique dans l'intervalle bleu avec un proba de 95%. On retrouve que $\hat{\rho}(1)$ est (significativement) plus grand que ce qu'on attend pour un bruit blanc.

2.1.2 Simulation d'une marche aléatoire :

$$B_t = B_{t-1} + \epsilon_t \text{ avec } \epsilon_t \sim \mathcal{N}(0, 1)$$

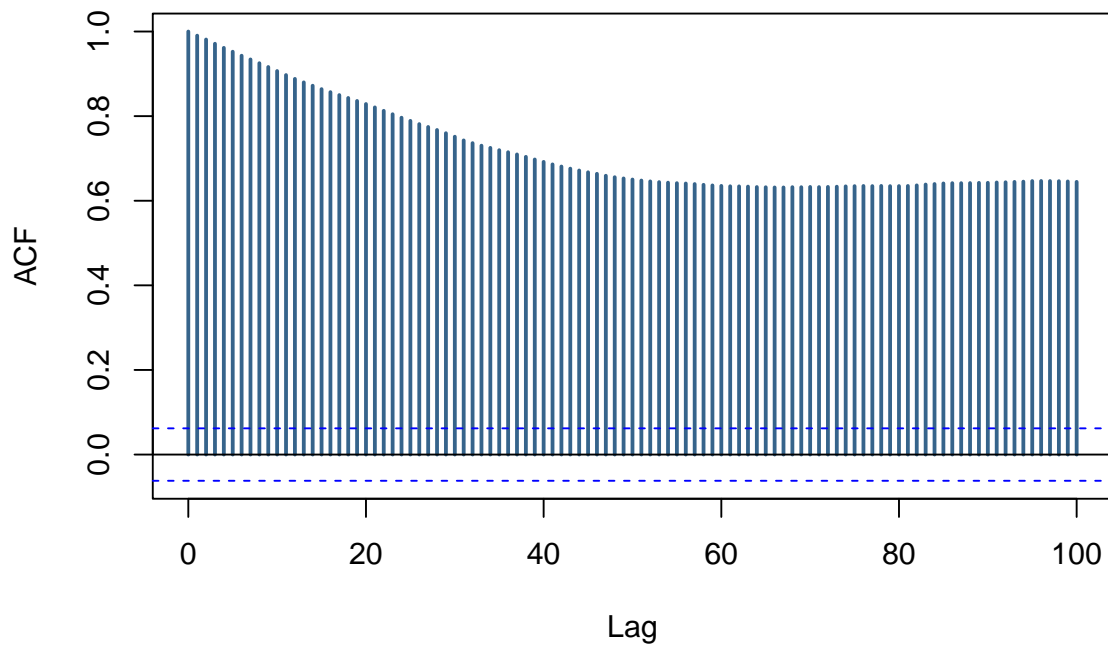
```
sig = 1
tau = 1
Time = 1000
eps = rnorm(Time, sd = sig) #bruit blanc
B = rnorm(1, sd = tau) + cumsum(eps[1:Time]) #alternative : boucle
plot(
  B,
  type = 'l',
  main = 'Simulation d\'une marche aléatoire',
  ylab = 'Valeurs simulées',
  xlab = 'Temps',
  col = palette_couleur[1],
  lwd = 2
)
```

Simulation d'une marche aléatoire



```
acf(  
  B,  
  lag.max = 100,  
  main = "Fonction autocorrélation empirique marche aléatoire",  
  col = palette_couleur[1],  
  lwd = 2  
)
```


Fonction autocorrélation empirique marche aléatoire



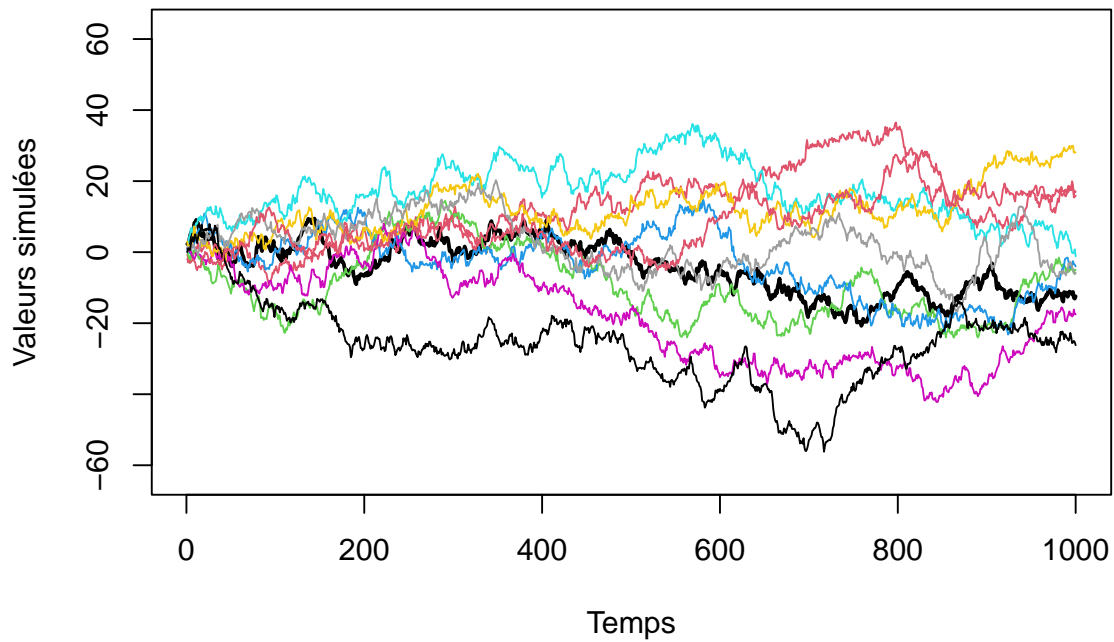
Commentaires :

Pprocessus non-stationnaire, ACF théorique pas définie, décroissance lente vers 0 de l'ACP empirique.

```
Time = 1000
plot(
  B,
  type = 'l',
  main = 'Simulation de plusieurs trajectoires de marche aléatoire',
  ylab = 'Valeurs simulées',
  xlab = 'Temps',
  col = 1,
  ylim = c(-2 * sig * sqrt(Time), 2 * sig * sqrt(Time)),
  lwd = 2
)
for (i in 2:10) {
  eps = rnorm(Time + 1, sd = sig)
  B = rnorm(1, sd = tau) + cumsum(eps[1:Time]) #on prend tau=sigma
  lines(B, col = i)
}
```

2.1.2.1 Simulation de plusieurs trajectoires de marche aléatoire :

Simulation de plusieurs trajectoires de marche aléatoire



Commentaire :

On retrouve que la variance augmente avec le temps, processus non-stationnaire

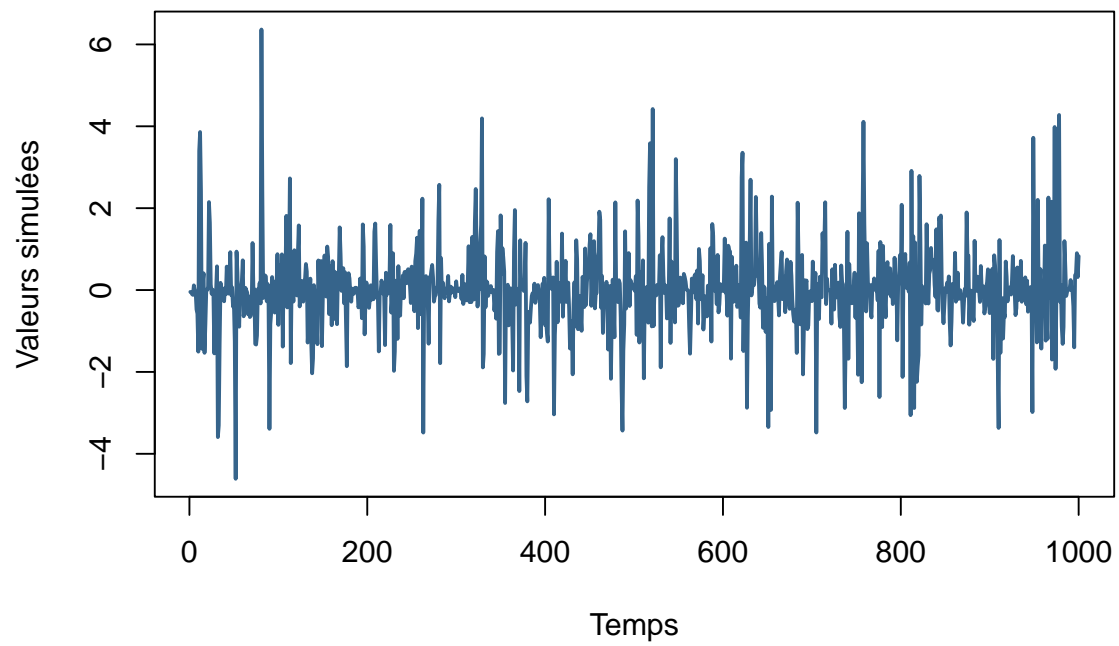
2.1.3 Simulation du troisième processus :

$$C_t = \epsilon_{t-1} \times \epsilon_t \text{ avec } \epsilon_t \sim \mathcal{N}(0, 1)$$

```
Time = 1000
sigma = 1
mu = 0
esp = rnorm(Time + 1, sd = sigma, mean = mu)
C = esp[1:Time] * esp[2:(Time + 1)]

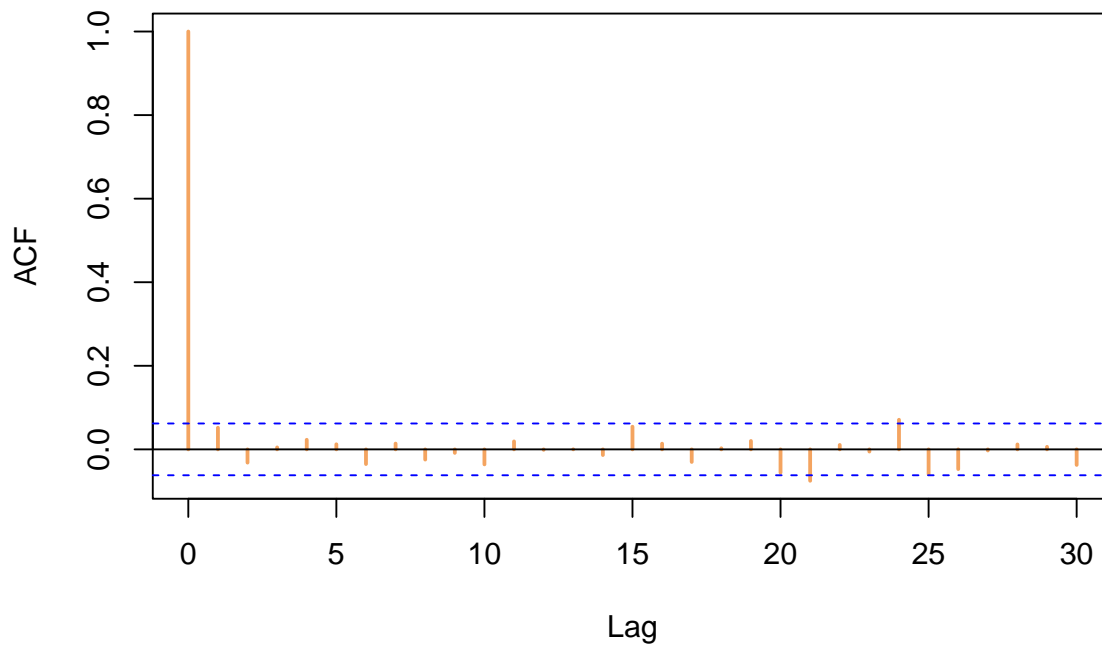
plot(C,
     main = "Simulation d'un processus C[t]",
     ylab = "Valeurs simulées",
     xlab = "Temps",
     type = "l",
     col = palette_couleur[1],
     lwd = 2)
```

Simulation d'un processus $C[t]$



```
acf(C,  
  main = "Fonction autocorrélation empirique processus  $C[t]$ ",  
  col = palette_couleur[2],  
  lwd = 2)
```

Fonction autocorrélation empirique processus C[t]



2.1.3.1 Test de normalité des résidus : On peut tester la normalité des résidus avec le test de Shapiro-Wilk.

Le test de shapiro test l'existence de normalité des résidus.

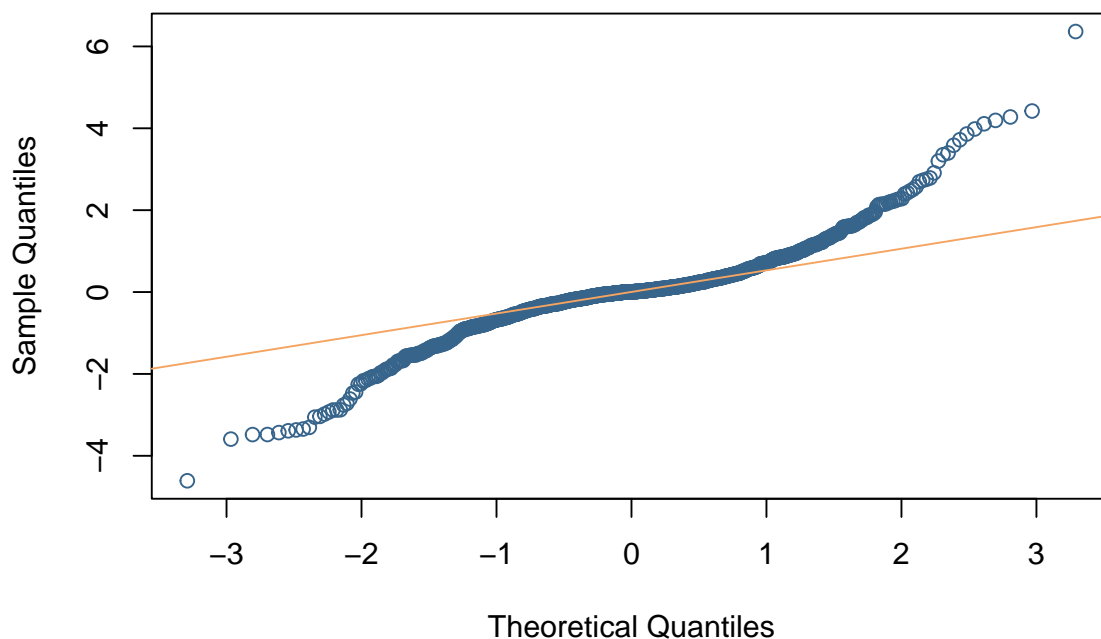
$$\begin{cases} H_0 : \text{Les résidus suivent une loi normale} \\ H_1 : \text{Les résidus ne suivent pas une loi normale} \end{cases}$$

On peut aussi tracer un QQ-plot pour vérifier la normalité des résidus.

#Etude de la distribution des valeurs simulées :

```
qqnorm(C,  
  main = "QQ-plot processus C[t]",  
  col = palette_couleur[1])  
qqline(C, col = palette_couleur[2])
```

QQ-plot processus C[t]



```
shapiro.test(C) #test de normalité des résidus
```

Shapiro-Wilk normality test

data: C

W = 0.90951, p-value < 2.2e-16

2.1.4 Simulation du processus D :

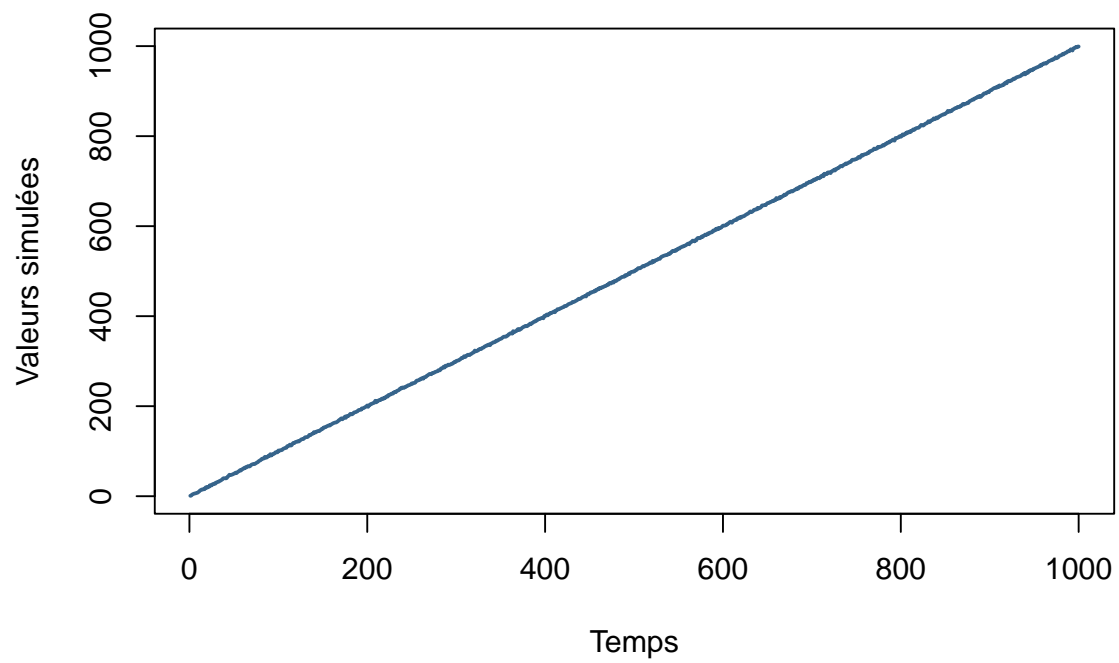
$$D_t = t + \epsilon_t \text{ avec } \epsilon_t \sim \mathcal{N}(0, 1)$$

```
sigma = 1
Time = 1000
esp = rnorm(Time, sd = sigma)

D = 1:Time + esp[1:Time]

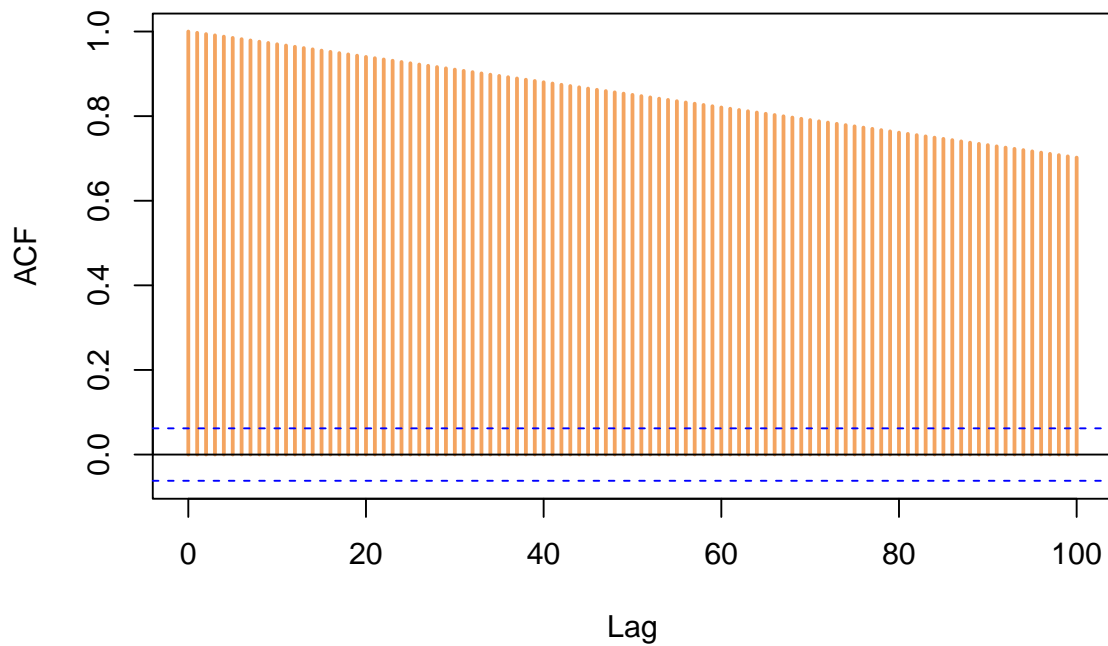
plot(D,
     main = "Simulation d'un processus D[t]",
     ylab = "Valeurs simulées",
     xlab = "Temps",
     type = "l",
     col = palette_couleur[1],
     lwd = 2)
```

Simulation d'un processus D[t]



```
acf(D,  
  main = "Fonction autocorrélation empirique processus D[t]",  
  col = palette_couleur[2],  
  lwd = 2,  
  lag.max = 100)
```

Fonction autocorrélation empirique processus D[t]



Commentaires :

Le processus n'est pas stationnaire, il y a une tendance dans la variance.

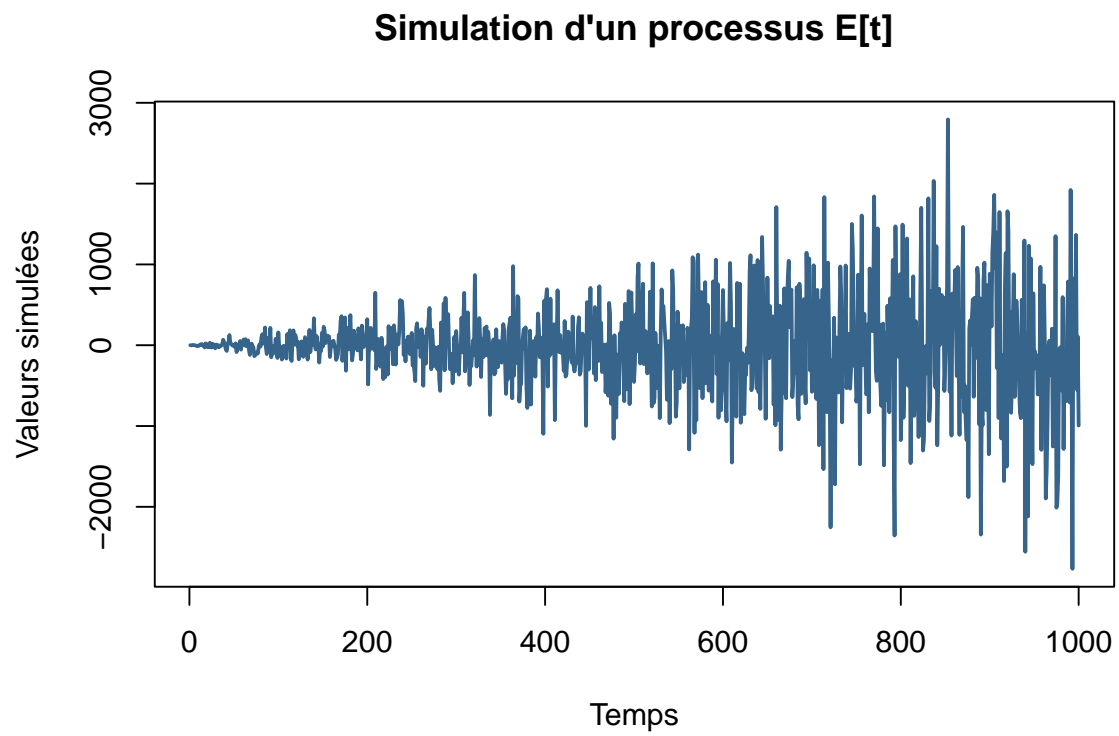
En considérant $t \in R$ fixé on peut dire que le processus est gaussien.

2.1.5 Simulation du processus E :

$$E_t = t \times \epsilon_t \text{ avec } \epsilon_t \sim \mathcal{N}(0, 1)$$

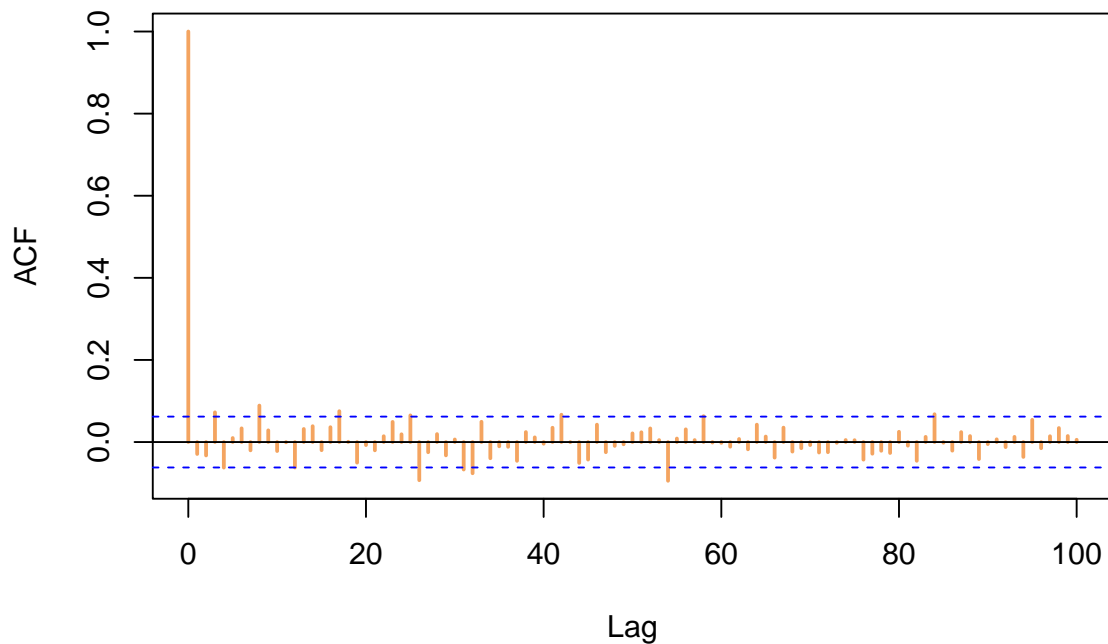
```
E = (1:Time) * esp[1:Time]
```

```
plot(E,  
  main = "Simulation d'un processus E[t]",  
  ylab = "Valeurs simulées",  
  xlab = "Temps",  
  type = "l",  
  col = palette_couleur[1],  
  lwd = 2)
```



```
acf(E,  
  main = "Fonction autocorrélation empirique processus  $E[t]$ ",  
  col = palette_couleur[2],  
  lwd = 2,  
  lag.max = 100)
```


Fonction autocorrélation empirique processus E[t]



Commentaire :

Le processus n'est pas stationnaire il y a une tendance dans la variance.

2.2 Exercice 2 :

$$X_t = \epsilon_t + \beta_1 * \epsilon_{t-1} + \beta_2 * \epsilon_{t-2} + \beta_3 * \epsilon_{t-3} \text{ avec } \epsilon_t \sim \mathcal{N}(0, 1) \beta_1 = 1, \beta_2 = 0.5, \beta_3 = -0.5$$

2.2.1 Fonction autocorrélation théorique :

```
# Paramètres du modèle :
beta = c(1, .5, -.5)
rho = ARMAacf(ma = beta)
# Formule théoriques :
rho_1 <- (beta[1]+beta[1]*beta[2]+beta[2]*beta[3])/(1+sum(beta^2))
rho_2 <- (beta[2]+beta[1]*beta[3])/(1+sum(beta^2))
rho_3 <- (beta[3])/(1+sum(beta^2))

# Affichage des résultats :

data.frame(
  Lag = 1:3,
  Formule = c(rho_1, rho_2, rho_3),
  Fonction = rho[2:4]
)
```

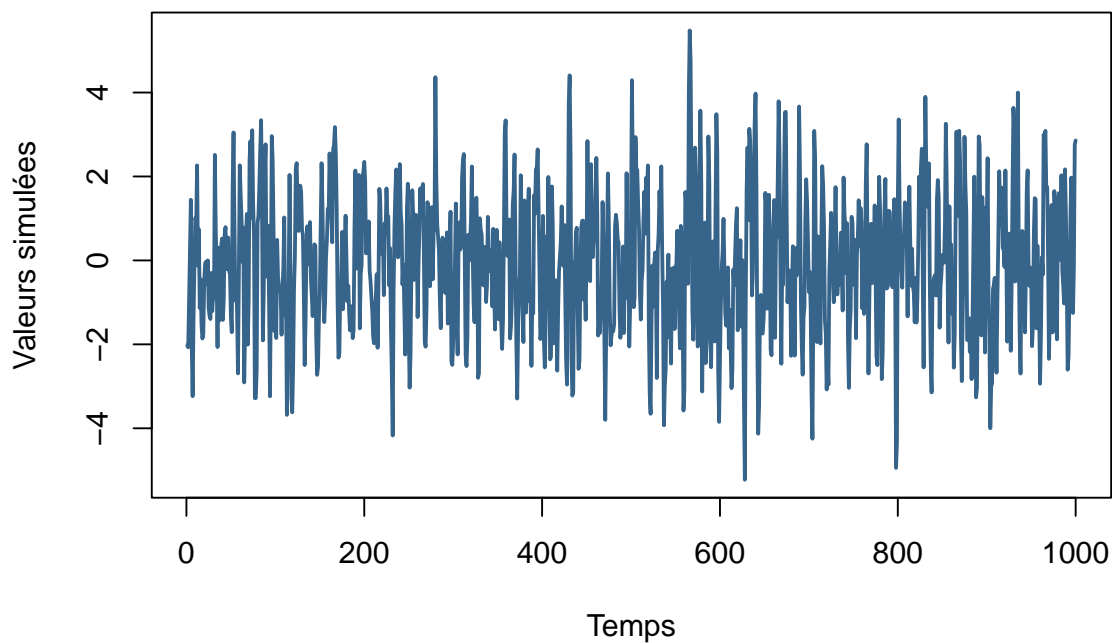
	Lag	Formule	Fonction
1	1	0.5	0.5

```
2 2 0.0 0.0
3 3 -0.2 -0.2
```

2.2.2 Simulation du processus en utilisant la fonction intégrée :

```
x = arima.sim(model = list(ma = beta), n = 1000)
plot(x,
     main = "Simulation d'un processus ARMA(3,0)",
     ylab = "Valeurs simulées",
     xlab = "Temps",
     type = "l",
     col = palette_couleur[1],
     lwd = 2)
```

Simulation d'un processus ARMA(3,0)

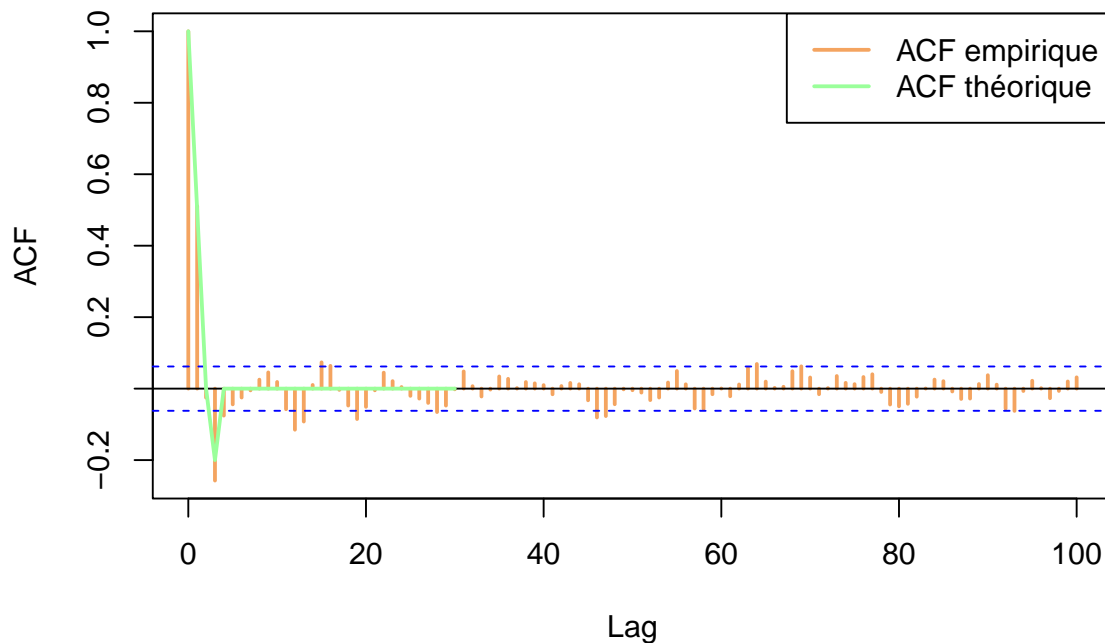


```
acf(x,
    main = "F° autocorrélation empirique processus ARMA(3,0)",
    col = palette_couleur[2],
    lwd = 2,
    lag.max = 100)

rho = ARMAacf(ma = c(1, .5, -.5), lag.max = 30)
lines(0:30, rho, col = palette_couleur[3], lwd = 2)
legend(
    'topright',
    c('ACF empirique', 'ACF théorique'),
    col = palette_couleur[2:3],
    lty = 1,
    lwd = 2)
```

)

F° autocorrélation empirique processus ARMA(3,0)



A retenir :

Pour un MA(q), on a $\rho(h)=0$ pour $h>q$.

2.3 Exercice 3 :

$$X_t = \alpha X_{t-1} + \epsilon_t \text{ avec } \epsilon_t \sim \mathcal{N}(0, 1)$$

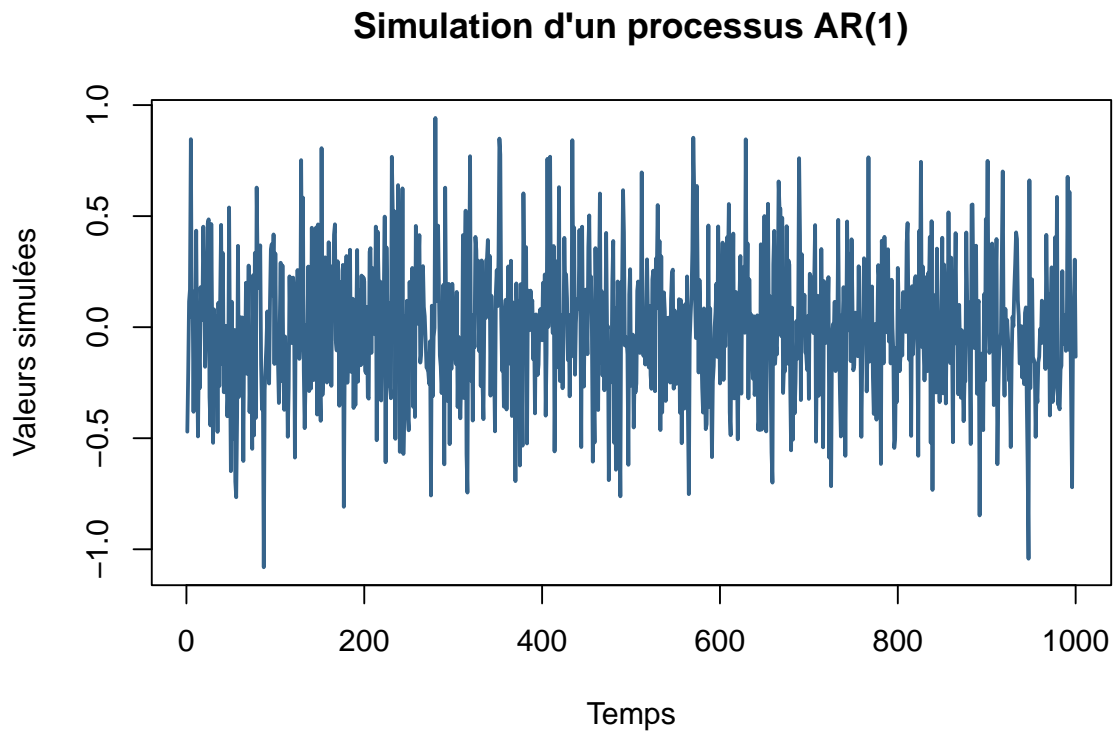
2.3.1 Fonction de simulation d'un processus Ar(1):

```
ar1 = function(alpha, sigma = 1, Time= 1000) {
  x = numeric(Time)
  x[1] = rnorm(1, sd = sqrt(sigma ^ 2 / (1 - alpha ^ 2)))
  for (t in 2:Time) {
    x[t] = alpha * x[Time- 1] + rnorm(1, sd = sigma)
  }
  return(x)
}
```

2.3.2 Simulation du processus :

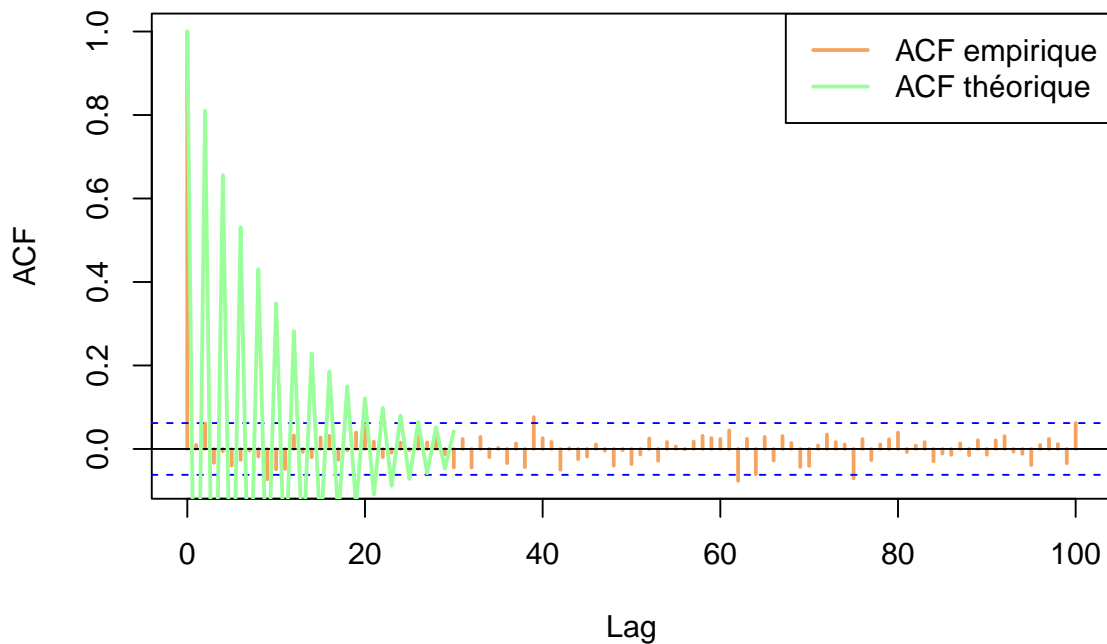
```
alpha = -0.9
# alpha = 0.9
sigma = sqrt(0.1)
Time = 1000
x = ar1(alpha, sigma, Time)
```

```
plot(x,
     main = "Simulation d'un processus AR(1)",
     ylab = "Valeurs simulées",
     xlab = "Temps",
     type = "l",
     col = palette_couleur[1],
     lwd = 2,
     xlim = c(1, Time))
```



```
acf(x,
    main = "F° autocorrélation empirique processus AR(1)",
    col = palette_couleur[2],
    lwd = 2,
    lag.max = 100)
tab = 0:30
rho = alpha ^ tab
lines(tab, rho, col = palette_couleur[3], lwd = 2)
legend(
  'topright',
  c('ACF empirique', 'ACF théorique'),
  col = palette_couleur[2:3],
  lty = 1,
  lwd = 2
)
```

F° autocorrélation empirique processus AR(1)



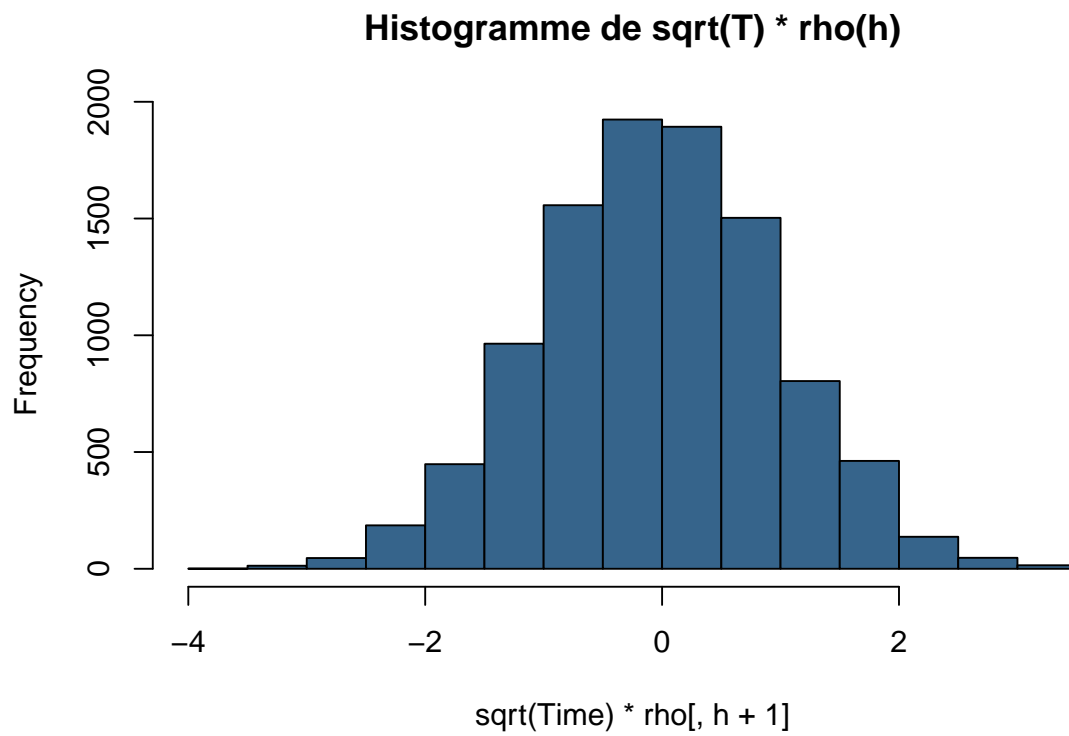
2.4 Exercice 5 :

2.4.1 Simulation du bruit blanc :

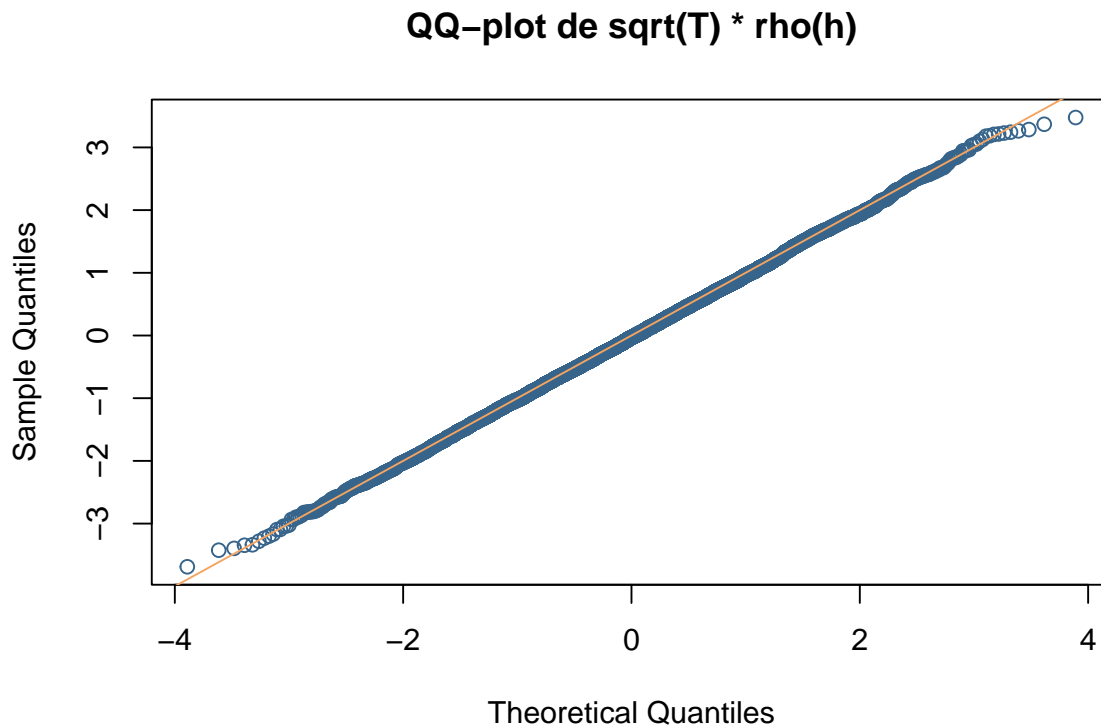
```
N = 10 ^ 4 #nombre de simulations
Time = 1000 #longueur des séries temporelles
rho = NULL
pv = NULL
for (n in 1:N) {
  #on répète l'expérience N fois
  x = rnorm(Time) #simulation d'un bruit blanc gaussien
  rho = rbind(rho, acf(x, plot = FALSE)$acf) #calcul et stockage ACF (sans tracer le graphique)
  pv = c(pv, Box.test(x, lag = 5)$p.value) #calcul et stockage p-value du test de Portmanteau
}
```

2.4.2 Vérification que $\sqrt{T} \times \hat{\rho}(h) \sim \mathcal{N}(0, 1)$:

```
h = 1
hist(sqrt(Time) * rho[, h+1], # La fonction d'autocorrélation commence à 0.
     main = "Histogramme de sqrt(T) * rho(h)",
     col = palette_couleur[1])
```



```
# Test de normalité :  
qqplot = qqnorm(sqrt(Time) * rho[, h+1],  
                 main = "QQ-plot de sqrt(T) * rho(h)",  
                 col = palette_couleur[1])  
abline(0, 1, col = palette_couleur[2])
```



Commentaire :

On peut retrouver des résultats similaires sur les autres valeurs de h .

2.4.3 L'intervalle de confiance à 95% des coefficients d'auto-corrélation :

```
nb_value <-
  sum(rho[, h + 1] > -1.96 / sqrt(Time) &
      rho[, h + 1] < 1.96 / sqrt(Time)) / N
nb_value # Très proche de 0.95 (prendre N assez grand)
```

[1] 0.9516

```
alpha = 0.05
sum(pv > 0.05) / N
```

[1] 0.9533

H0 = c'est un bruit blanc , acceptés dans + de 95% des cas

2.4.4 Vérification sur une simulation MA(1) :

```
beta = 0.9
sigma = 0.1
rho = NULL ; pv = NULL
N = 10 ^ 4
for (i in 1:N){
  eps = sigma * rnorm(Time + 1)
```

```

y = eps[2:(Time + 1)] + beta * eps[1:Time]
rho = rbind(rho, acf(y, plot = FALSE)$acf)
pv = c(pv, Box.test(y, lag = 5)$p.value)
}

```

2.4.4.1 Simulation :

2.4.5 Vérifier que $\hat{\rho}(1)$ n'est plus dans l'intervalle pour un MA(1) :

```

h = 1
nb_value = sum(rho[,h+1] > -1.96/sqrt(Time) &
               rho[,h+1] < 1.96/sqrt(Time))/N
nb_value

```

```
[1] 0
```

```

# Test du bruit blanc :
alpha = 0.05
sum(pv > alpha) / N

```

```
[1] 0
```

Commentaire :

L'intervalle de confiance n'est plus respecté pour un MA(1) (on rejette l'hypothèse de bruit blanc).

On rejette l'hypothèse de bruit blanc pour un MA(1) (on a une dépendance entre les valeurs successives).

2.4.6 Test de normalité des rendements dans la modélisation de Black-Scholes :

$$X_t = \ln\left(\frac{S_t}{S_{t-1}}\right) = \ln(S_t) - \ln(S_{t-1})$$

S_t : Prix de l'actif à l'instant t *Hypothèse* : $X_t \sim \mathcal{N}(\mu, \sigma^2)$ iid

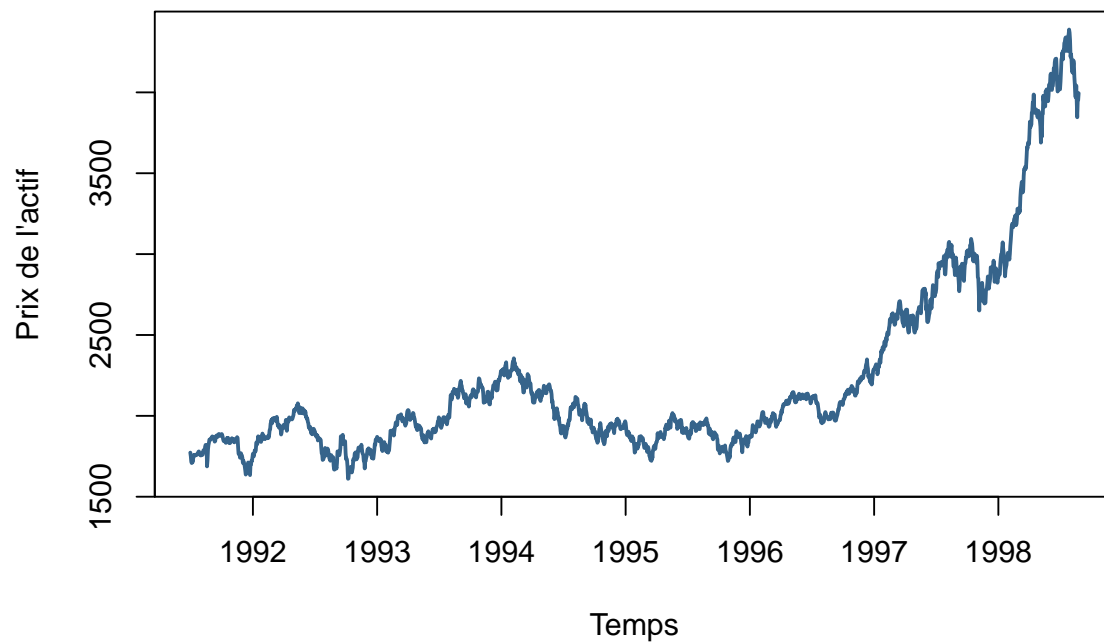
```

x = EuStockMarkets[, 3]
plot(
  x,
  main = "Evolution du prix de l'actif",
  ylab = "Prix de l'actif",
  xlab = "Temps",
  type = "l",
  col = palette_couleur[1],
  lwd = 2
)

```

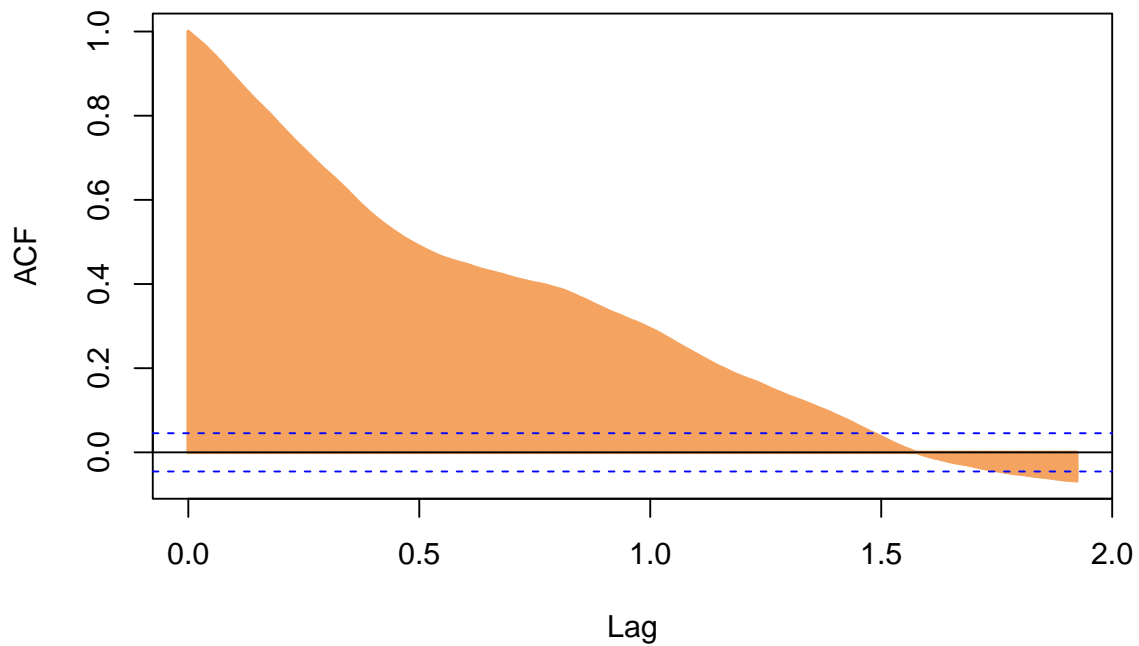
2.4.6.1 Importation et représentation graphique :

Evolution du prix de l'actif



```
acf(  
  x,  
  main = "F° autocorrélation empirique du prix de l'actif",  
  col = palette_couleur[2],  
  lwd = 2,  
  lag.max = 500  
)
```

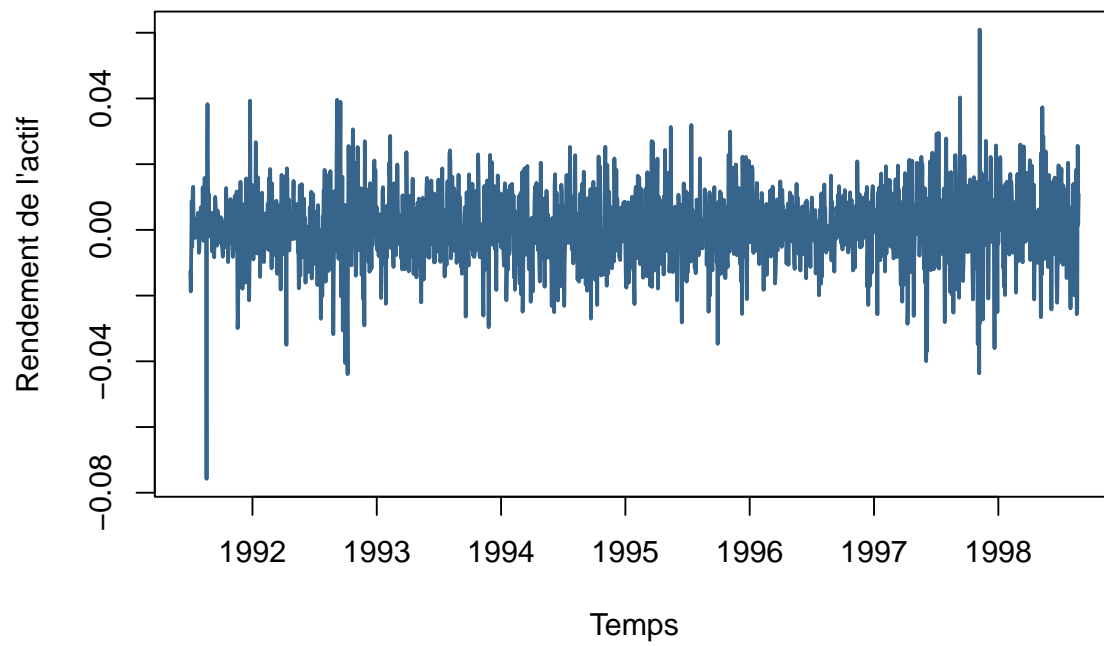
F° autocorrélation empirique du prix de l'actif



```
y = diff(log(x))
plot (
  y,
  main = "Evolution du rendement de l'actif",
  ylab = "Rendement de l'actif",
  xlab = "Temps",
  type = "l",
  col = palette_couleur[1],
  lwd = 2
)
```

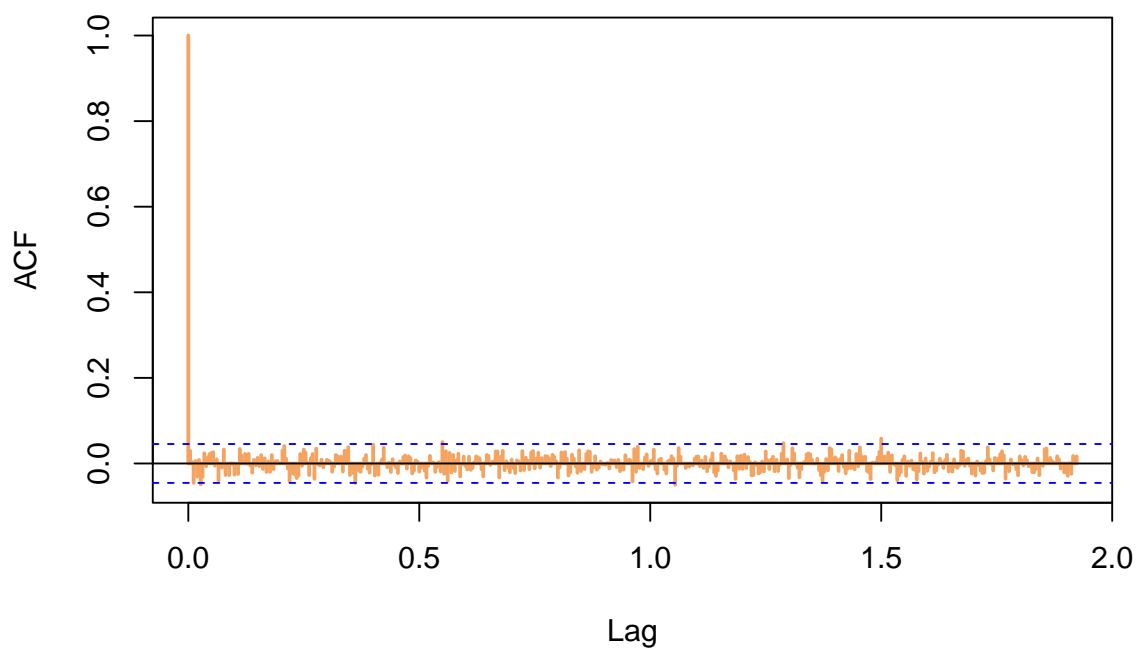
2.4.6.2 Log différenciation de l'actif :

Evolution du rendement de l'actif



```
acf(  
  y,  
  main = "F° autocorrélation empirique du rendement de l'actif",  
  col = palette_couleur[2],  
  lwd = 2,  
  lag.max = 500  
)
```

F° autocorrélation empirique du rendement de l'actif



```
Box.test(y, lag = 5) #test de Portmanteau (BB)
```

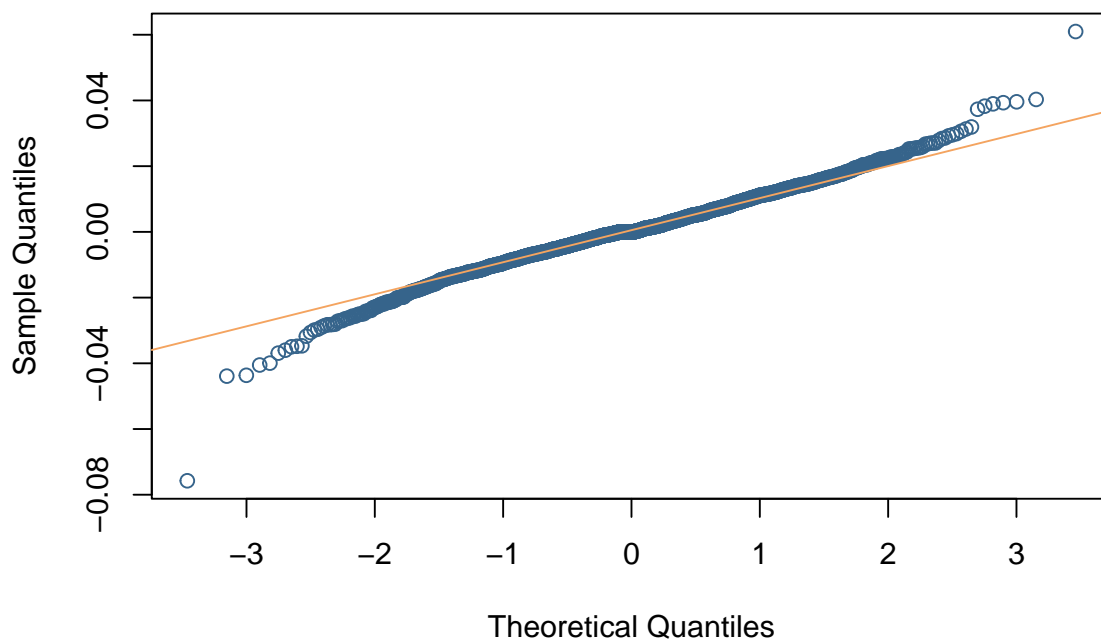
2.4.6.3 Test sur le BB et la normalité des rendements :

Box-Pierce test

```
data: y  
X-squared = 7.3488, df = 5, p-value = 0.196
```

```
qqnorm(y,  
  main = "QQ-plot des rendements de l'actif",  
  col = palette_couleur[1])  
qqline(y, col = palette_couleur[2])
```

QQ-plot des rendements de l'actif



```
shapiro.test(y) #test de normalité des rendements
```

Shapiro-Wilk normality test

data: y
W = 0.98203, p-value = 1.574e-14

Rappel :

Le test de Shapiro permet de tester l'hypothèse nulle de normalité des résidus.

$$\begin{cases} H_0 : \text{Les résidus suivent une loi normale} \\ H_1 : \text{Les résidus ne suivent pas une loi normale} \end{cases}$$

Le test de Box-Pierce permet de tester l'hypothèse nulle d'indépendance des observations d'une série temporelle.

$$\begin{cases} H_0 : \rho(1) = 0, X \text{ est un bruit blanc} \\ H_1 : \rho(1) \neq 0, X \text{ n'est pas un bruit blanc} \end{cases}$$

Dans notre cas, les log-rendements de la série temporelle ne suivent pas une loi normale mais sont des bruits blancs. C'est-à-dire que les rendements sont indépendants et identiquement distribués.

2.5 Exercice 6 :

On se base sur une modèle AR(1) :

$$X_t = \alpha X_{t-1} + \epsilon_t \text{ avec } \epsilon_t \sim \mathcal{N}(0, 1)$$

2.5.1 Créer une fonction d'estimation du maximum de vraisemblance associé à la série temporelle :

```
ar1.estim = function(x) {
  n = length(x)
  x1 = x[1:(n - 1)]
  x2 = x[2:n]
  alpha = sum(x1 * x2) / sum(x1 ^ 2)
  sigma = sqrt(sum((x2 - alpha * x1) ^ 2) / n)
  return(c(alpha, sigma))
}

# Création d'une série temporelle :
alpha = 0.9 ; sigma = 0.1 ; Time = 1000
x = arima.sim(model = list(ar = alpha), n = Time, sd = sigma)

# Fonction créée :
yf = ar1.estim(x)

# Estimation R :
y = ar(x, aic = FALSE, order.max = 1, demean = FALSE, method = "ols")

# Résultats :
data.frame(
  Explication = c("Vrai valeur", "Estimation F°", "Estimation R"),
  alpha = round(c(alpha, yf[1], y$ar[1]), 4),
  sigma = round(c(sigma, yf[2], y$var.pred[1]), 4))
```

```
      Explication  alpha  sigma
1  Vrai valeur 0.9000 0.1000
2 Estimation F° 0.9106 0.0962
3 Estimation R 0.9106 0.0093
```

2.5.2 Etude sur les estimateurs par simulation :

```
Nsimu = 10 ^ 2 ; alpha = 0.9 ; sigma = 0.1
tabT = c(20,100,1000,10000) # Différentes longueur de série

# Matrice de stockage des estimations :
alphaols = matrix(0, Nsimu, length(tabT))
sigmaols = matrix(0, Nsimu, length(tabT))
alphamle = matrix(0, Nsimu, length(tabT))
sigmamle = matrix(0, Nsimu, length(tabT))

for (i in 1:length(tabT)) {
  T = tabT[i]
  for (j in 1:Nsimu) {
    x = arima.sim(model = list(ar = alpha), sd = sigma, n = T)
    fit = ar(x, aic = FALSE, order.max = 1, demean = FALSE, method = 'ols')
    alphaols[j, i] = fit$ar
    sigmaols[j, i] = fit$var.pred
  }
}
```

```

fit = ar(x, aic = FALSE, order.max = 1, demean = FALSE, method = 'mle')
alphamle[j, i] = fit$ar
sigmamle[j, i] = fit$var.pred
}
}

```

```

# Comparaison du biais des estimateurs :
data.frame (
  Duration = tabT,
  MLE_mean = round(apply(alphamle, 2, mean),4),
  OLS_mean = round(apply(alphaols, 2, mean),4)
)

```

2.5.2.1 Comparaison en moyenne :

	Duration	MLE_mean	OLS_mean
1	20	0.8621	0.8602
2	100	0.8831	0.8805
3	1000	0.8971	0.8971
4	10000	0.9007	0.9007

Commentaire :

Au regard des moyennes l'estimateur est asymptotiquement sans biais (biais tend vers 0 lorsque T grandit)

```

data.frame(
  duration = tabT,
  MLE = round(apply(alphamle, 2, var),4),
  OLS = round(apply(alphaols, 2, var),4))

```

2.5.2.2 Comparaison de la variance des estimateurs :

	duration	MLE	OLS
1	20	0.0115	0.0140
2	100	0.0025	0.0024
3	1000	0.0002	0.0002
4	10000	0.0000	0.0000

Commentaire :

La variance des estimateurs tend vers 0 lorsque T grandit (convergence ordre 2)

```

alpha = cbind(alphaols, alphamle)
sigma = cbind(sigmaols, sigmamle)

method = cbind(matrix('ols', Nsimu, length(tabT)), matrix('mle', Nsimu, length(tabT)))

longueur = cbind(matrix(rep(tabT, Nsimu), Nsimu, length(tabT), byrow = TRUE),
  matrix(rep(tabT, Nsimu), Nsimu, length(tabT), byrow = TRUE))

```

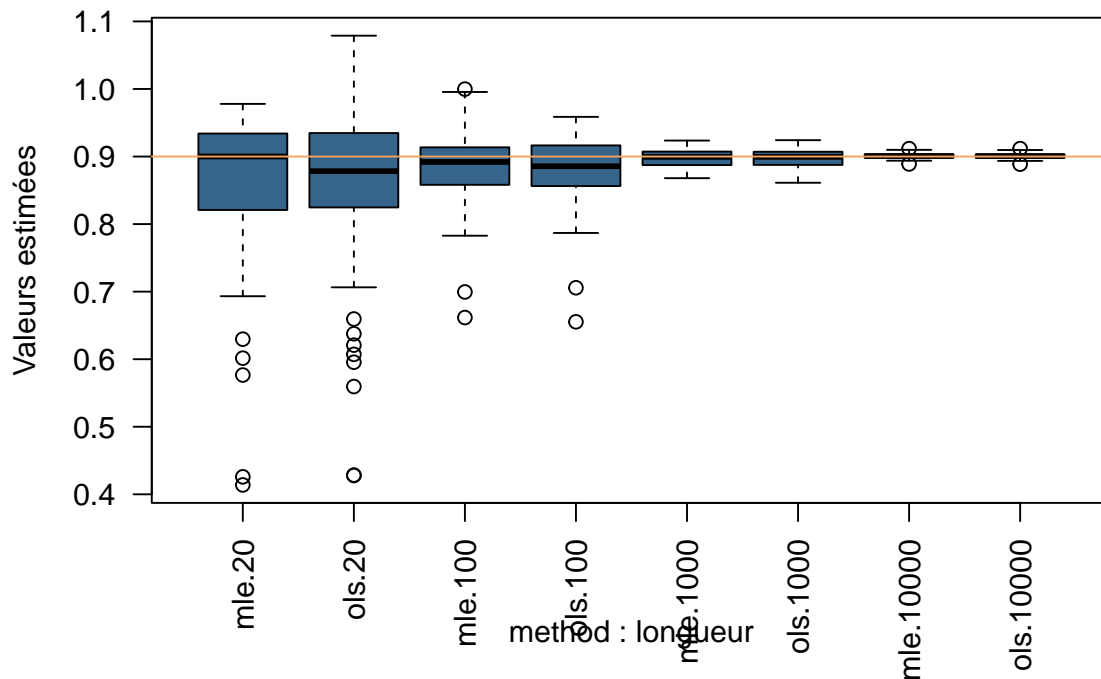
2.5.2.3 Représentation graphique boxplot :

```
boxplot(alpha ~ method + longueur, las = 2, col = palette_couleur[1],
        main = "Estimation moyenne d'alpha : méthode et longueurs différentes",
        ylab = "Valeurs estimées")

abline(h = 0.9, col = palette_couleur[2])
```

2.5.2.3.1 Estimation moyenne des alpha :

Estimation moyenne d'alpha : méthode et longueurs différentes



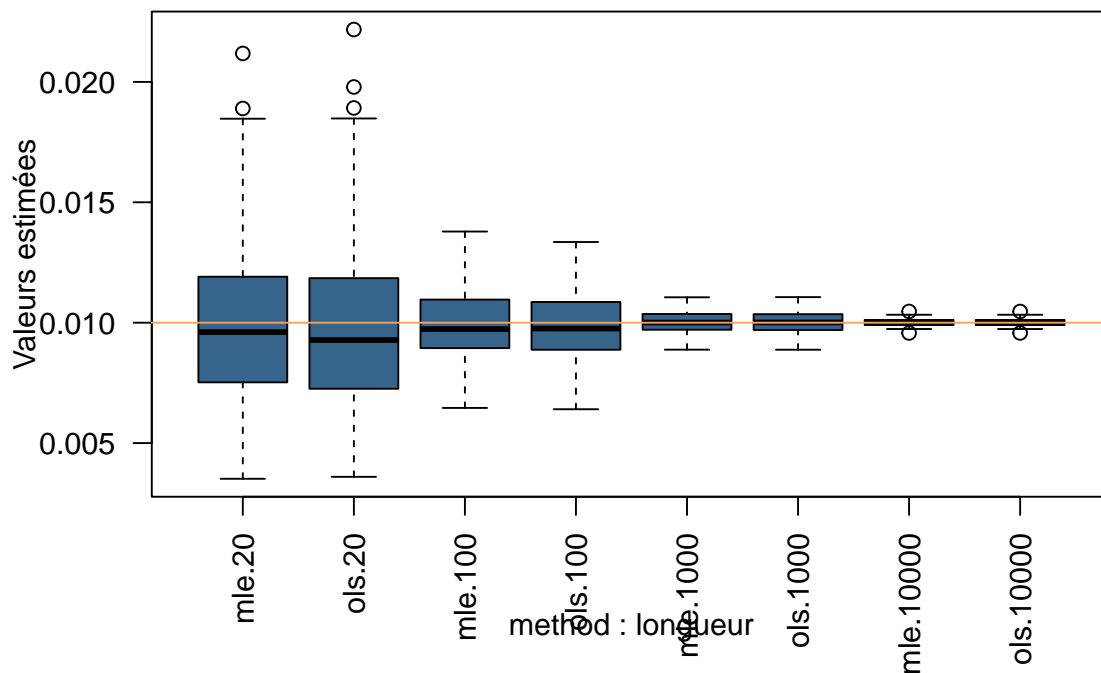
0.9 Correspond à la vraie valeur de alpha

```
boxplot(sigma ~ method + longueur, las = 2, col = palette_couleur[1],
        main = "Estimation moyenne de sigma : méthode et longueurs différentes",
        ylab = "Valeurs estimées")

abline(h = 0.1 ^ 2, col = palette_couleur[2])
```

2.5.2.4 Estimation moyenne de sigma :

Estimation moyenne de sigma : méthode et longueurs différentes



Commentaire :

Les deux méthodes (mle et ols) donnent des résultats proches. La méthode mle semble donner des résultats légèrement meilleurs pour les petits échantillons. On observe une sous-estimation pour les petites séries temporelles ($T=20$). On observe une convergence lorsque T tend vers l'infini.

2.5.3 Création d'une fonction de prédiction pour le modèle AR(1) :

Calcul de l'écart type et de la moyenne de la prédiction :

Prédiction de X_t à partir de (X_1, \dots, X_{t-h}) :

```
predictionAR1 = function(x, a, sig, hmax) {
  return(list(moy = x * a ^ (1:hmax),
             sig = sqrt(sig ^ 2 * (1 - a ^ (2 * (1:hmax))) / (1 - a ^ (2)))))
}
```

2.5.4 Simulation et prédiction : (A reprendre simplification possible dans le code)

```
alpha = 0.9 ; sig = 0.1 ; Time = 10 ^ 5
X = arima.sim(model = list(ar = alpha), sd = sig, n = Time)

moypred = NULL
sigpred = NULL
h = 1 #horizon de prévision
for (t in (h + 1):Time) {
  pred = predictionAR1(X[t - h], alpha, sig, h)
  moypred[t] = pred$moy[h]
  sigpred[t] = pred$sig[h]
}
```

```

}

IC_pr_value = sum(X > moypred - 1.96 * sigpred &
  X < moypred + 1.96 * sigpred, na.rm = TRUE) / (Time - h + 1)

cat("Pourcentage de valeur dans l'intervalle = ", round(IC_pr_value,4), "\n")

```

Pourcentage de valeur dans l'intervalle = 0.9509

2.6 Exercice 7 :

2.6.1 Trouver les racines d'un polynôme caractéristique :

```

cat("Racines du polynôme : ", polyroot(c(1, -.9, .3)), "\n")

Racines du polynôme : 1.5+1.040833i 1.5-1.040833i
cat("Module des racines : ", Mod(polyroot(c(1, -.9, .3))), "\n")

```

Module des racines : 1.825742 1.825742

Commentaire :

Proposition si le module des racines est supérieur à 1 alors le processus est stationnaire.

2.6.2 Calcul de l'ACF avec Yule-Walker à l'aide du système d'équations :

```

alpha1 = 0.1
alpha2 = -0.3
sigma = 1

mat = cbind(
  c(1, -alpha1, -alpha2, 0, 0, 0),
  c(-alpha1, 1 - alpha2, -alpha1, -alpha2, 0, 0),
  c(-alpha2, 0, 1, -alpha1, -alpha2, 0),
  c(0, 0, 0, 1, -alpha1, -alpha2),
  c(0, 0, 0, 0, 1, -alpha1),
  c(0, 0, 0, 0, 0, 1)
)
b = c(sigma ^ 2, 0, 0, 0, 0, 0)

gamma = solve(mat, b) #Fonction_autocovariance
f_autocor = gamma / gamma[1] # Fonction_autocorrélation

```

2.6.3 Simulation et comparaison sur la fonction d'autocorrélation :

```

x = arima.sim(model = list(ar = c(alpha1, alpha2)),
  sd = sigma,
  n = 10 ^ 4)

auto_cor_empi <- acf(x, lag.max = 5, plot = FALSE)$acf
auto_cor_theo <- ARMAacf(ar = c(alpha1, alpha2), lag.max = 5)
auto_cov_empi <- acf(x, lag.max = 5, type='covariance', plot=FALSE)$acf

# Affichage des résultats :

```

```
data.frame(
  Lag = 1:5,
  Yule_walker = round(f_autocor[2:6],4),
  Empirique = round(auto_cor_emi[2:6],4),
  Théorique = round(auto_cor_theo[2:6],4))
```

	Lag	Yule_walker	Empirique	Théorique
1	1	0.0769	0.0798	0.0769
2	2	-0.2923	-0.2963	-0.2923
3	3	-0.0523	-0.0582	-0.0523
4	4	0.0825	0.0759	0.0825
5	5	0.0239	0.0206	0.0239

2.6.4 Création d'une fonction d'estimation Yule-Walker pour un modèle AR(2) :

On se base uniquement sur le système d'équations preant en compte les 3 premières valeurs de l'ACF.

```
fitYWAR2 = function(x) {
  # Afc empirique :
  gammac = acf(x, lag.max = 2, type = 'covariance',
    plot = FALSE)$acf

  # Matrice A et vecteur b :
  A = matrix(c(gammac[2], gammac[1], gammac[2], gammac[3], gammac[2],
    gammac[1], 1, 0, 0), nrow = 3)
  b = c(gammac[1], gammac[2], gammac[3])
  thetamom = solve(A, b)
  return(thetamom)
}

# Vérification :
x = arima.sim(model = list(ar = c(alpha1, alpha2)),
  sd = sigma,
  n = 10 ^ 4)
resultat_r = ar(x, AIC= FALSE, order.max = 2,method = "yule-walker")
resultat_f = fitYWAR2(x)

# Affichage des résultats :
data.frame(
  Explication = c("Vrai valeur", "Estimation F°", "Estimation R"),
  alpha1 = round(c(alpha1, resultat_f[1], resultat_r$ar[1]), 4),
  alpha2 = round(c(alpha2, resultat_f[2], resultat_r$ar[2]), 4),
  sigma = round(c(sigma, resultat_f[3], resultat_r$var.pred[1]), 4))
```

	Explication	alpha1	alpha2	sigma
1	Vrai valeur	0.1000	-0.3000	1.0000
2	Estimation F°	0.0967	-0.2992	0.9962
3	Estimation R	0.0967	-0.2992	0.9965

3 Annales :